

**EVOLUCIÓ DEL PAISATGE VEGETAL HOLOCÈ  
AL PLA DE BARCELONA,  
A PARTIR DE LES DADES POL.LÍNIQUES**

**TESI DOCTORAL**

Presentada per  
**Santiago Riera i Mora**  
Octubre de 1994

Dirigida per:

**Dra. Maria de Bolòs i Capdevila**

**Dr. Josep Maria Gurt i Esparraguera**

**Programa de Doctorat 912: Economia i Societat en el Món Antic.  
Bienni 1989-1991.**

**Departament de Prehistòria, Història Antiga i Arqueologia.  
Facultat de Geografia i Història. Universitat de Barcelona.**



Fig. V.6. Localització del sondatge Can Clot -CCL-. Extrait del Plano Topográfico del Área Metropolitana de Barcelona, Esc. 1:10.000 hoja VIII-016

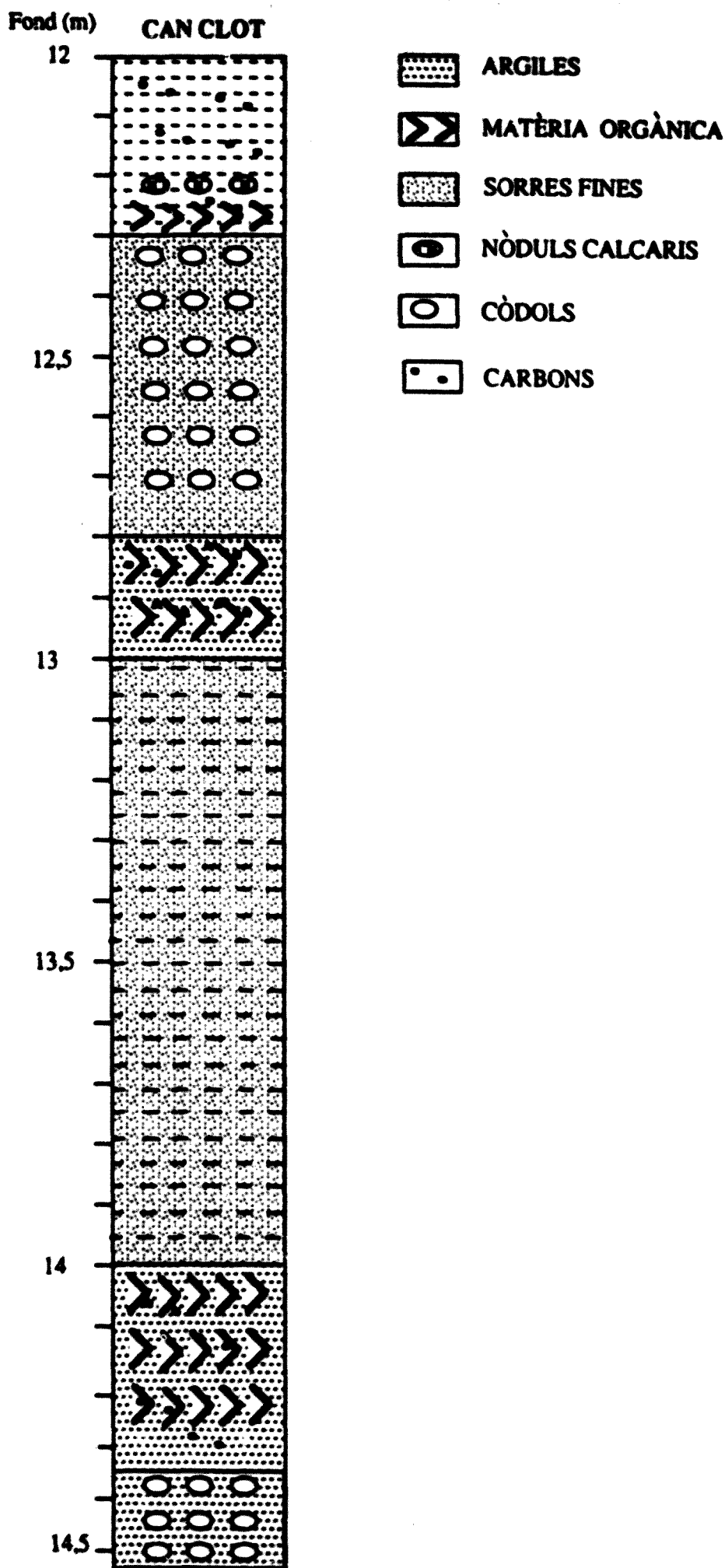


Fig. V.7. Principals unitats sedimentològiques del sondatge CCL.

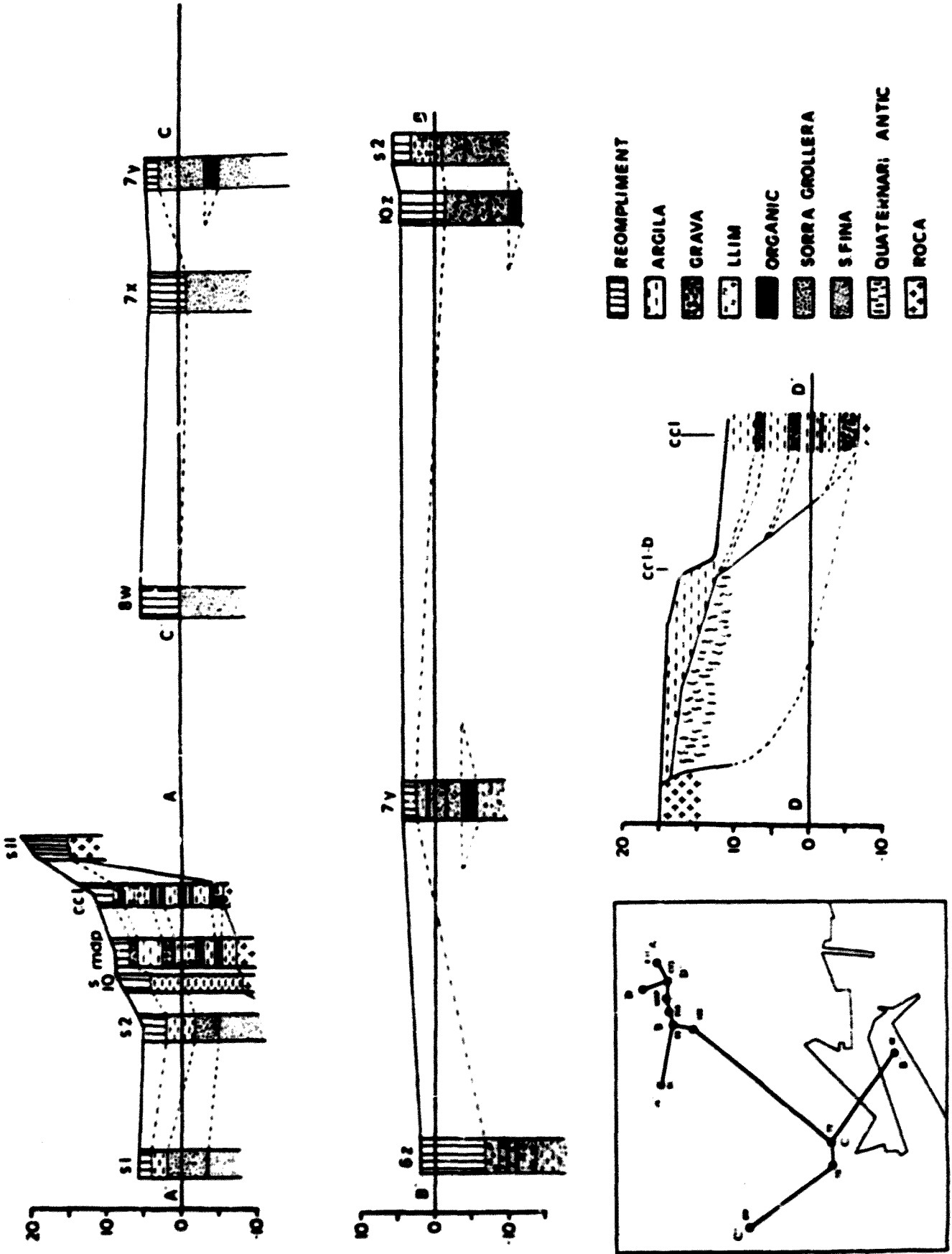


Fig. V.8. Descripcions sedimentàries i contrastes entre els sotabassos coneguts al vessant sud de Montgrí.

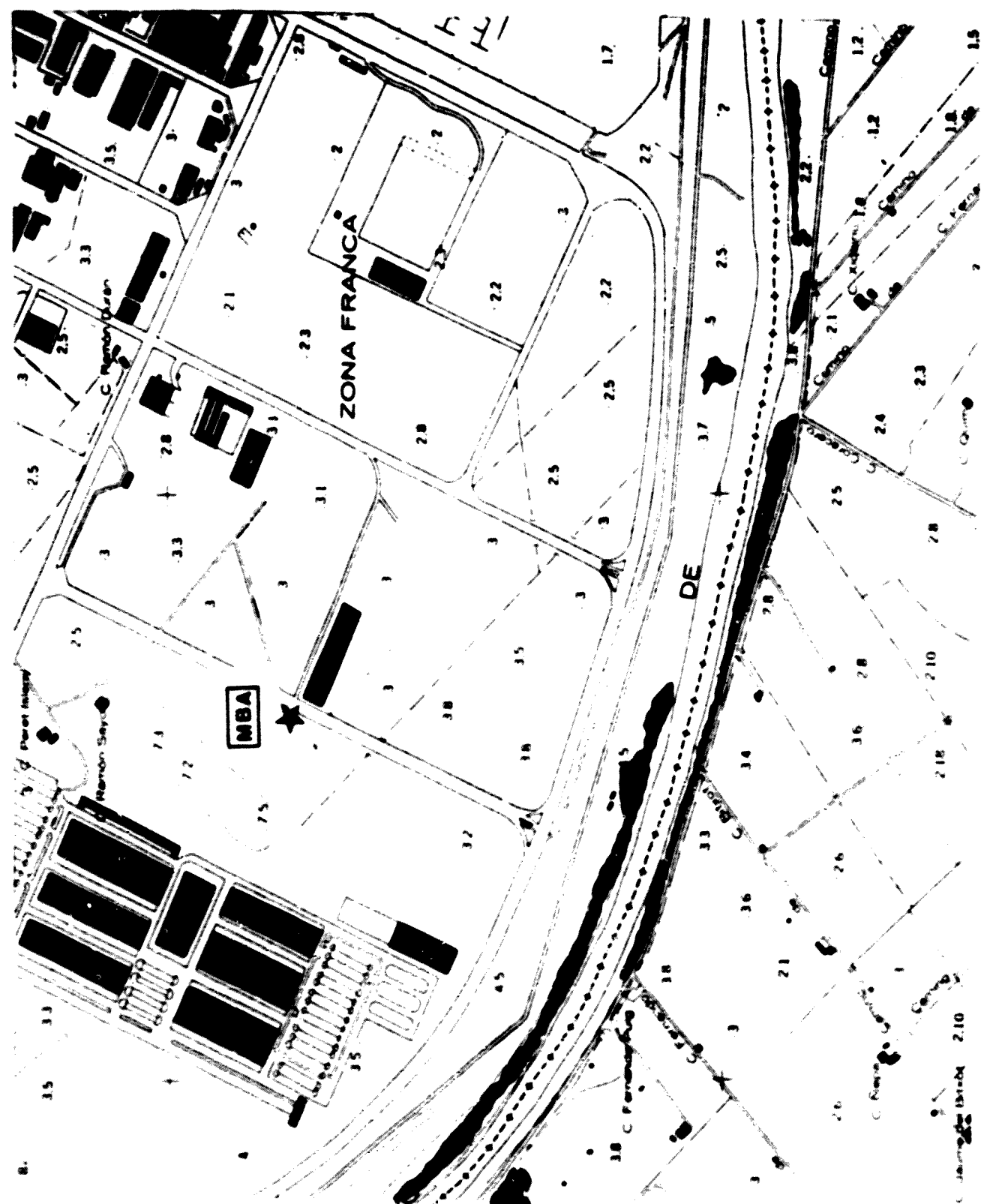


Fig. 19 Localización del sondaje Mercado MRA. Fuente del Plano: Topográfico del Área Metropolitana

de *Burri et al.* 110 ann. biogr. VI/04

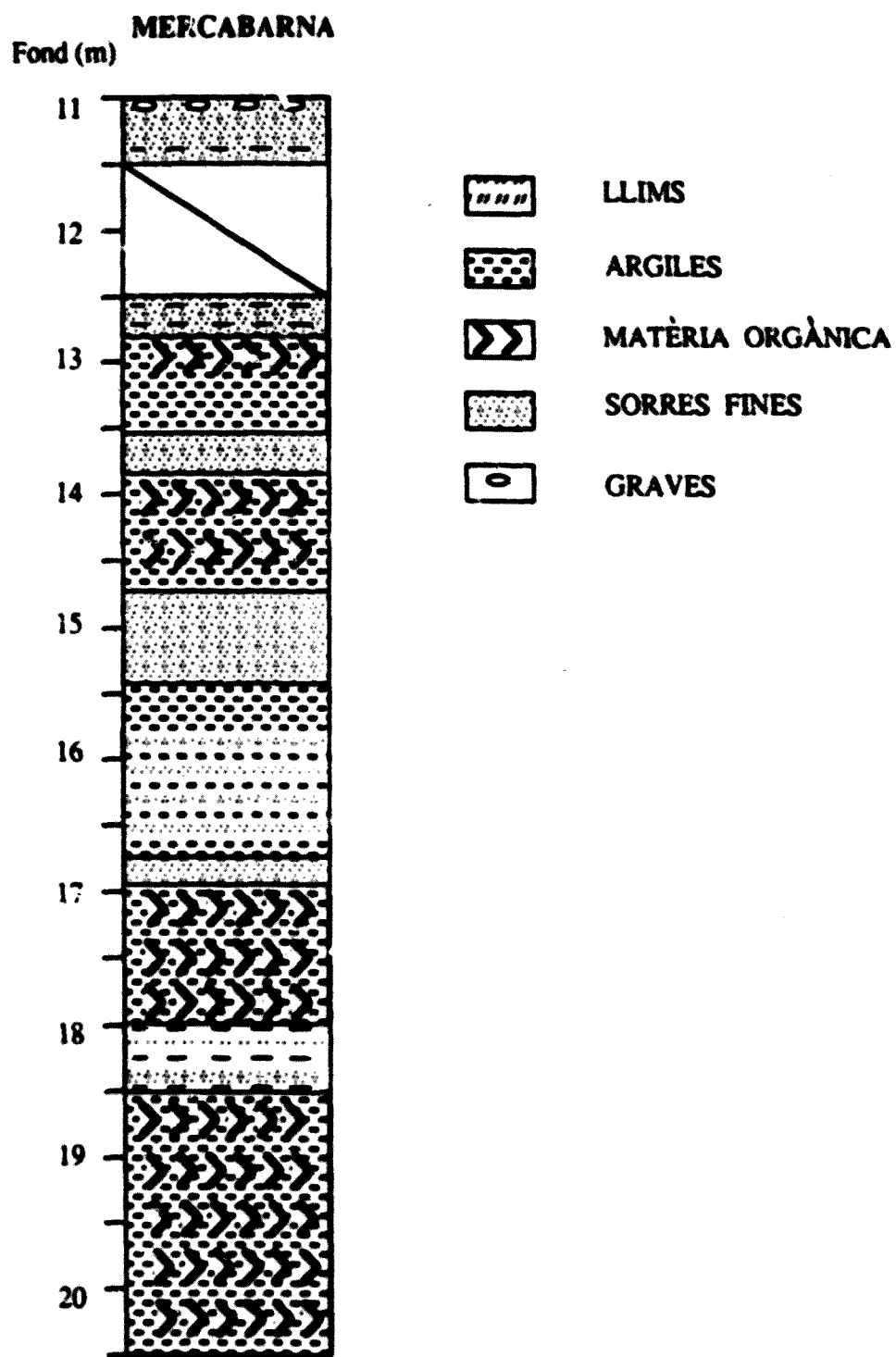


Fig. V.10. Principals unitats sedimentològiques del sondatge MBA.



Fig. VIII. Localización del sondaaje Multicasta MIR. I alrededor del Puerto Topográfico del Área Metropolitana de Barcelona. Esc. 1:10.000. hoja VI-01

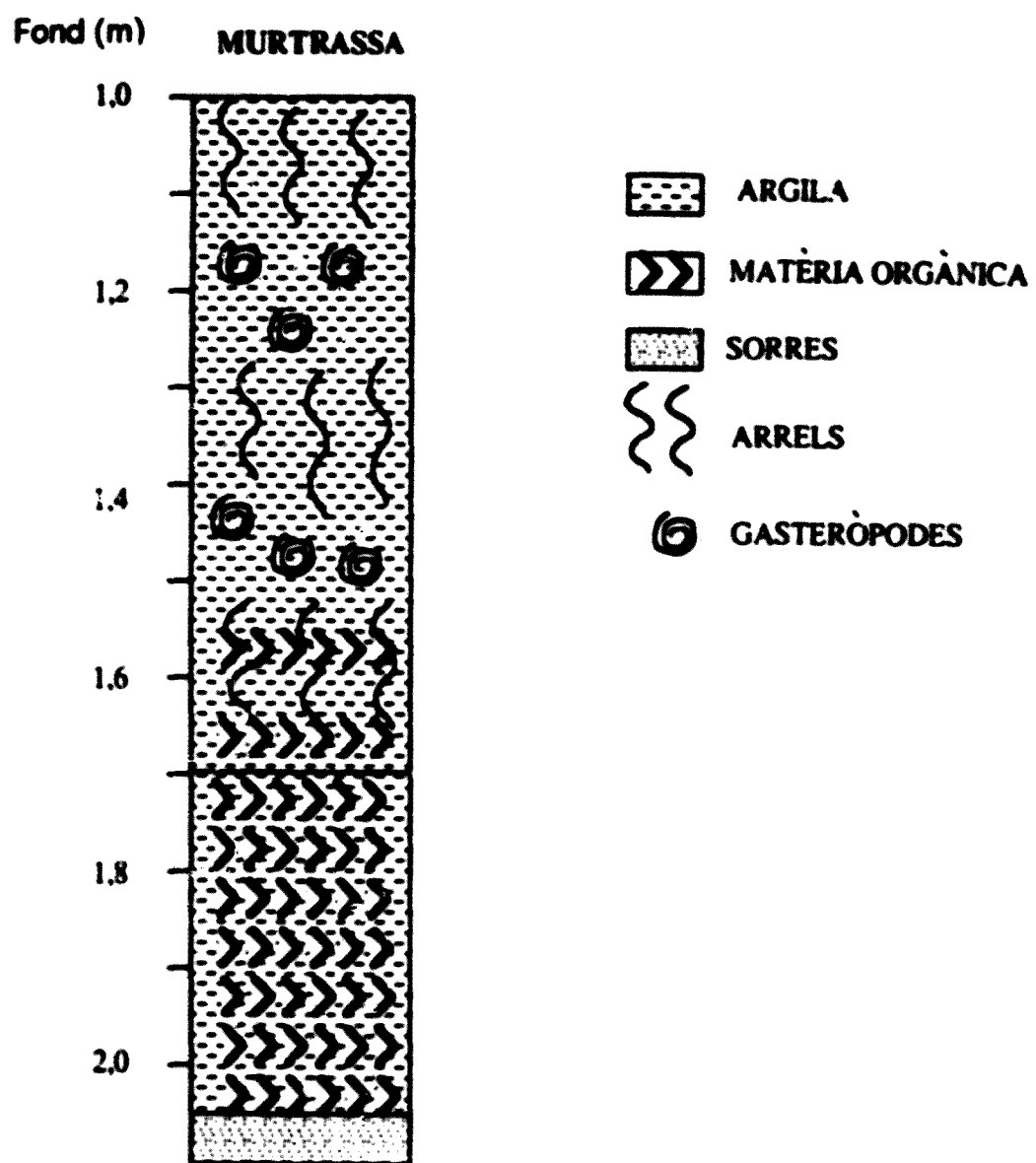


Fig. V 12. Principals unitats sedimentològiques del sondatge MTR.

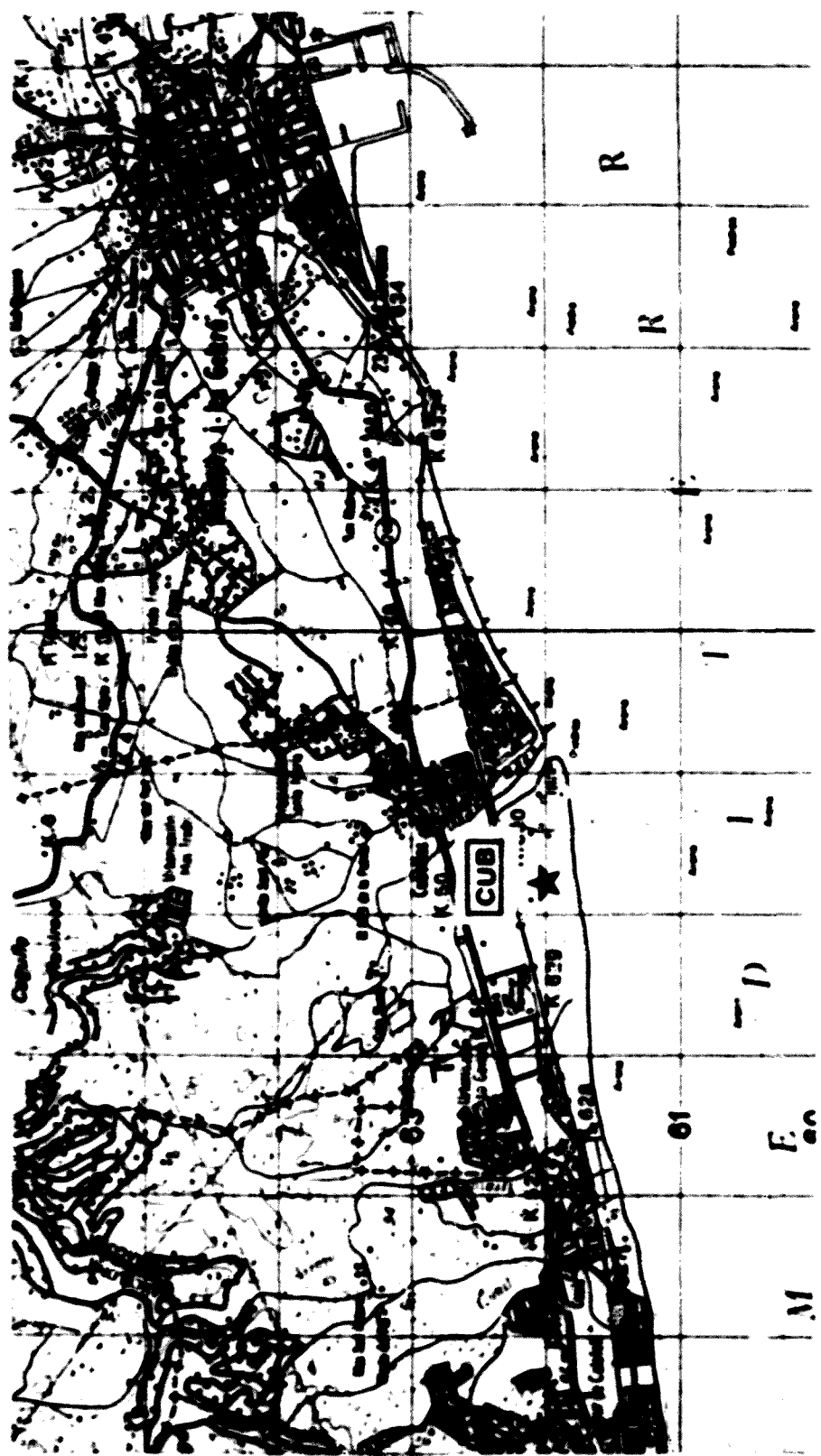
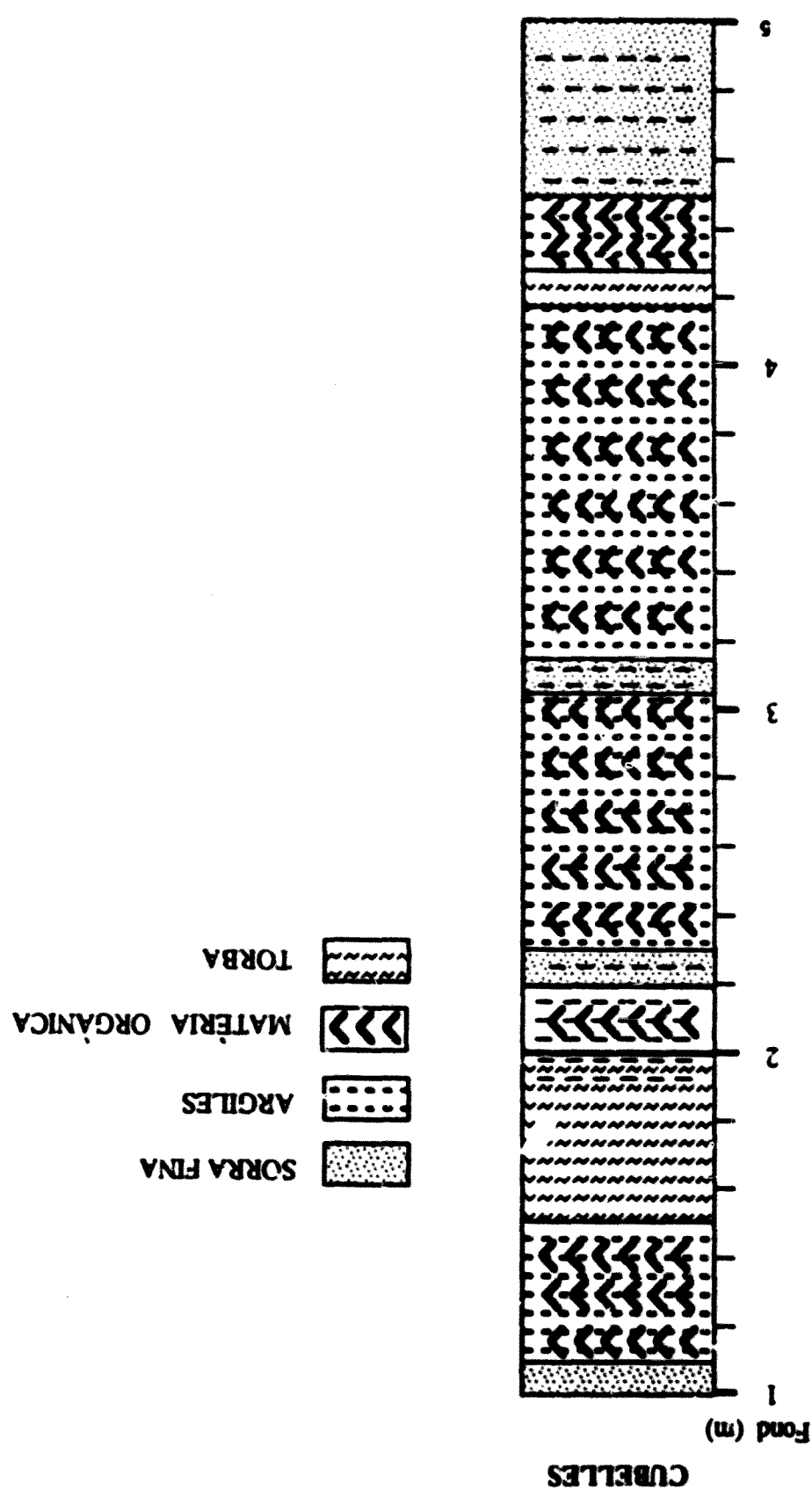


Fig. V.13. Localització del sondatge Cubelles - CUB. Estació del Mapa Topogràfic Nacional. E. 1:50.000.

Vilafranca del Penedès, hoja 447.

Fig. V.14. Principals unitats sedimentogeniques del sondatge C1/B



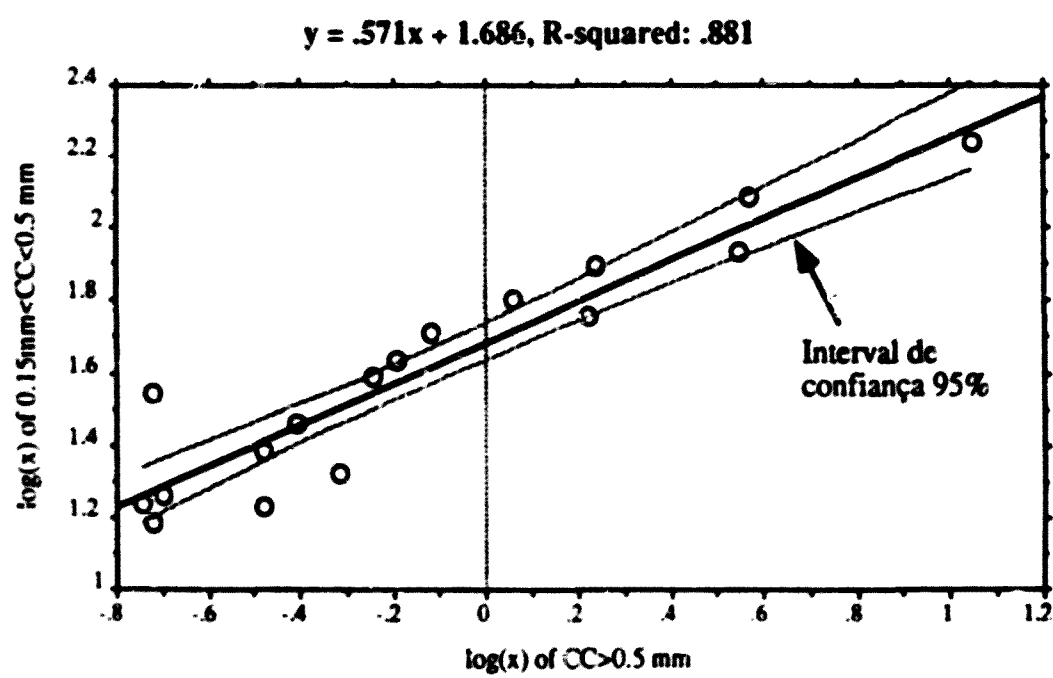
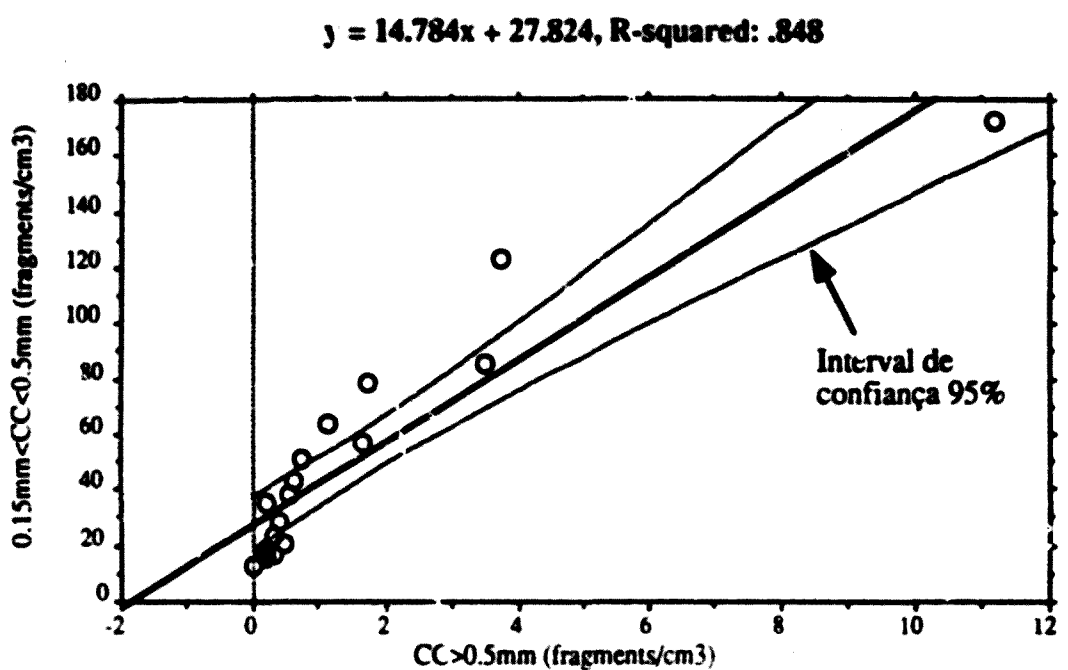


Fig. VI.1. Regressió lineal i logarítmica, a CCL, entre dues classes de partícules carbonoses: 0.15 mm < CC < 0.5 mm i CC > 0.5 mm.

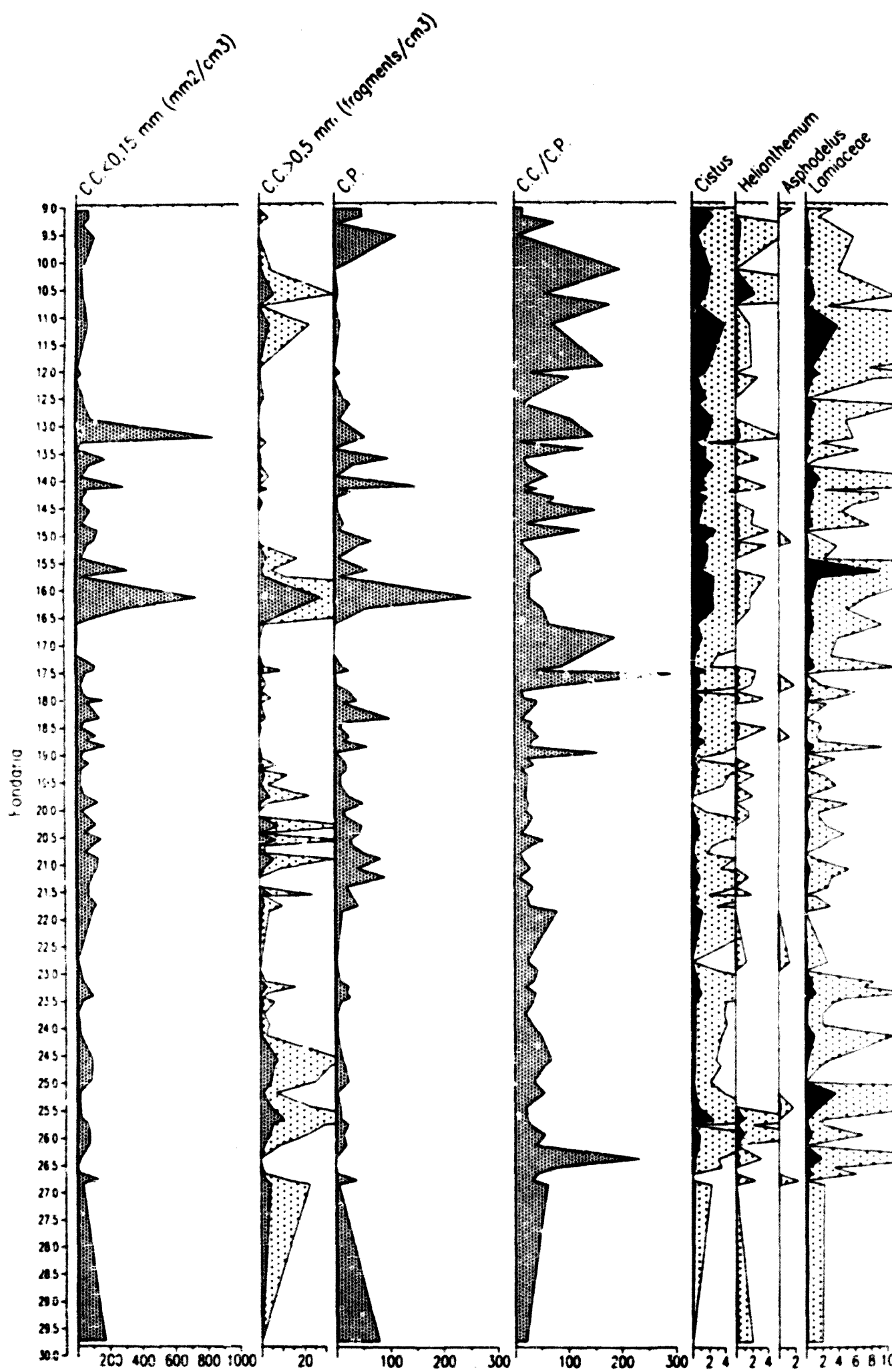


Fig. VI.2. Relació, al diagrama BES., de les corbes de C.C., C.P., C.C./C.P. i d'alguns taxons pol·linics

possiblement relacionats amb els incendis.

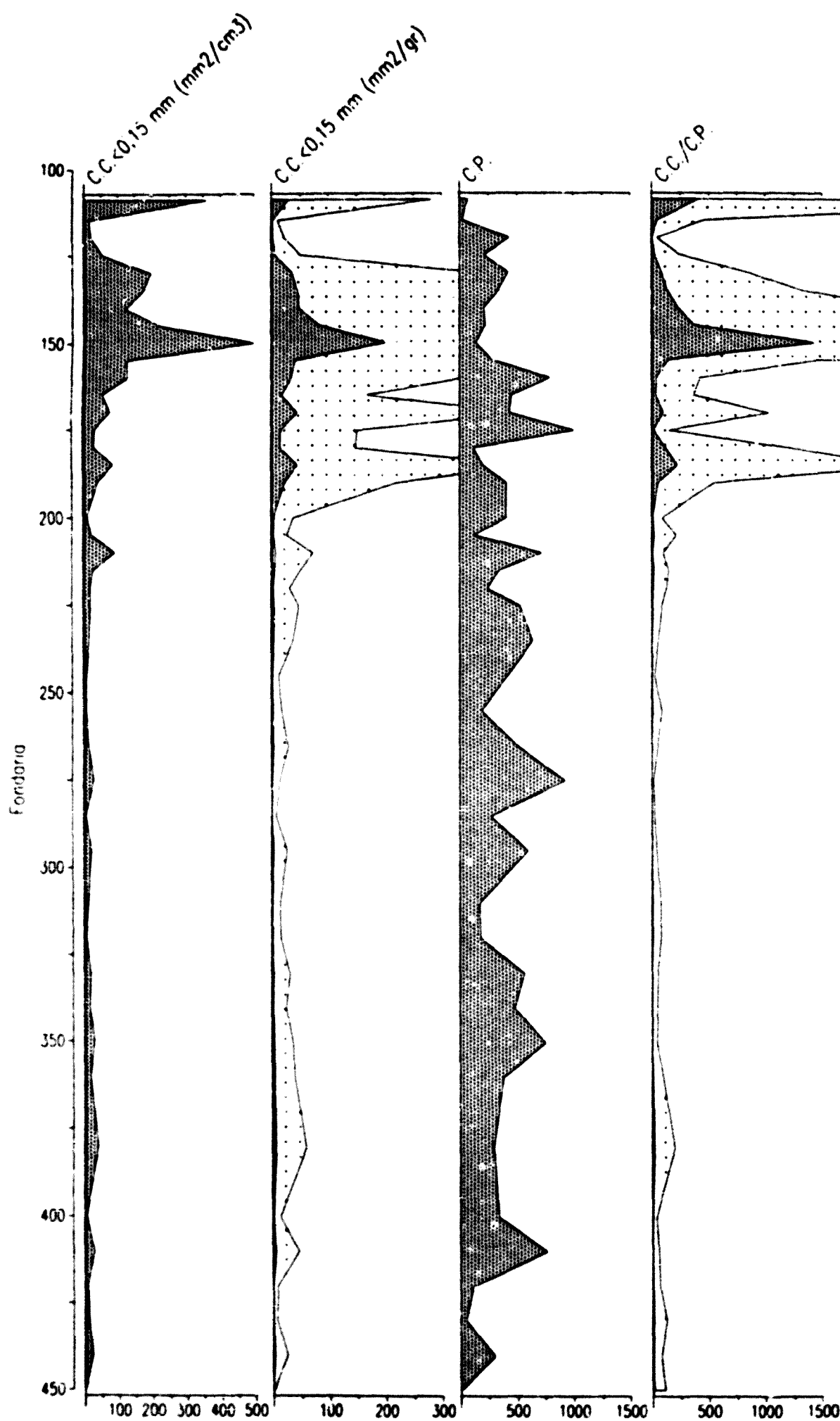


Fig. VI.3. Relació, al diagrama CUB., de les corbes de C.C., C.P. i C.C./C.P..

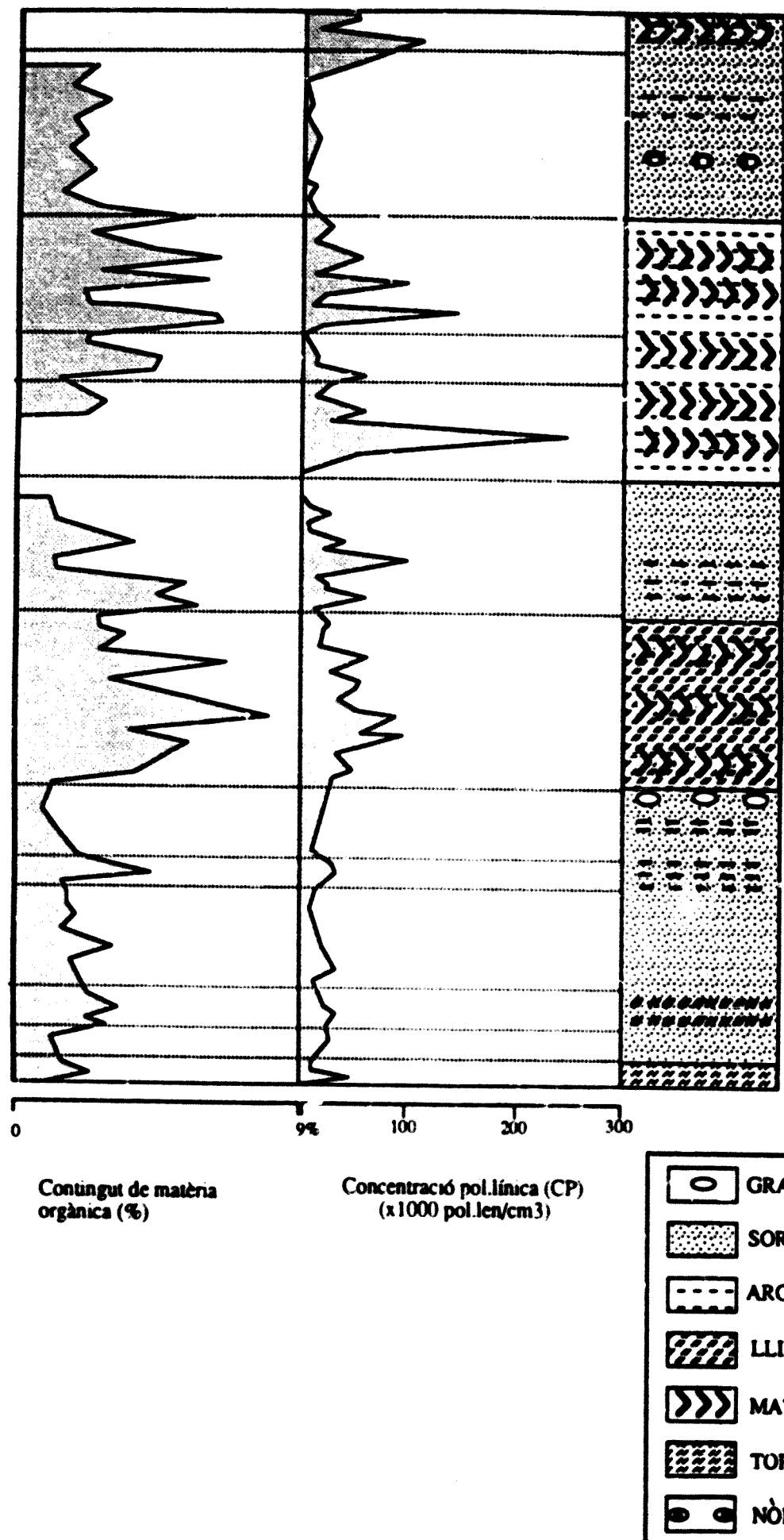


Fig. VI.4. Relació, al diagrama BES, de les corbes de Contingut de Matèria Orgànica i de C.P. amb la columna sedimentològica.

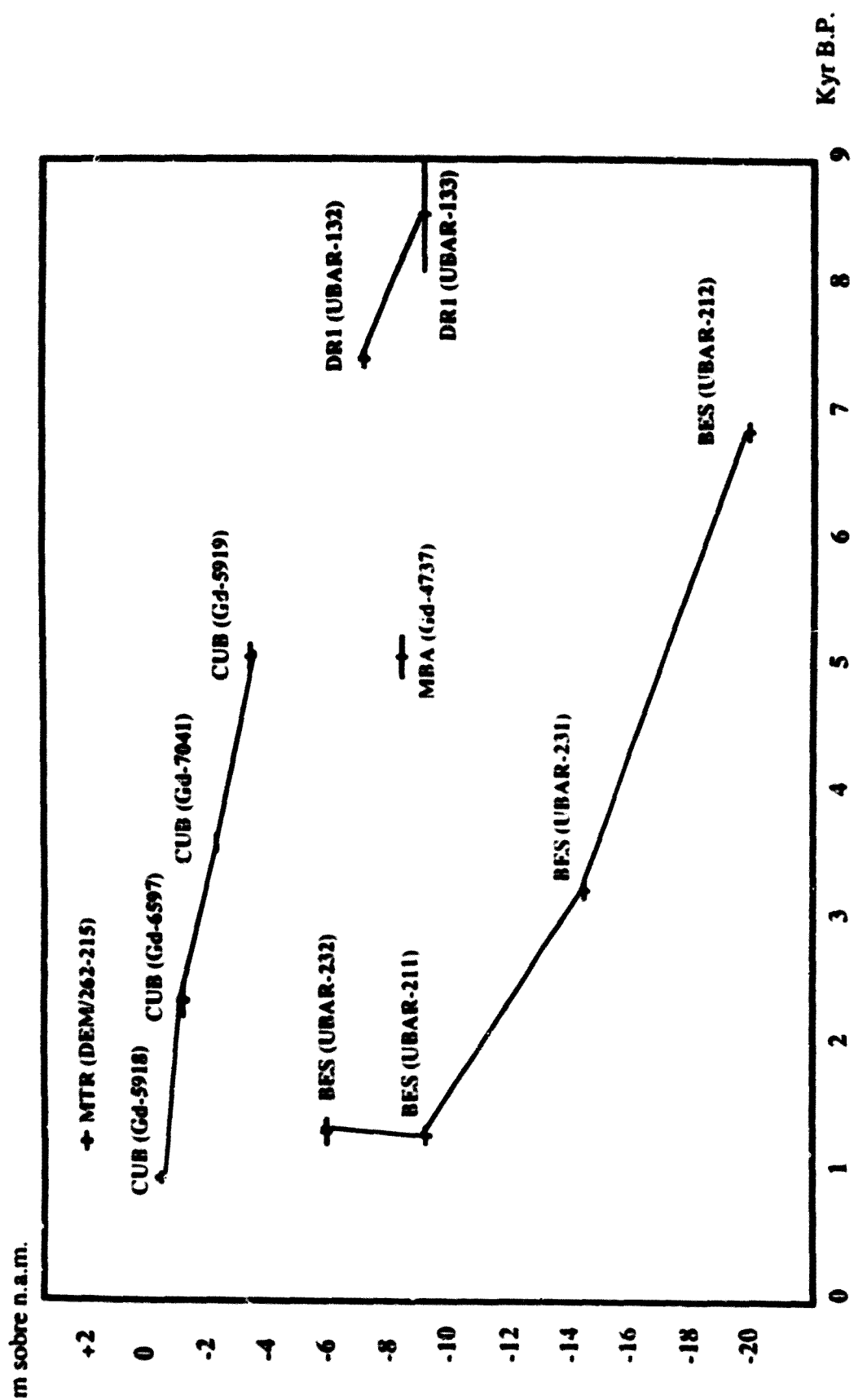


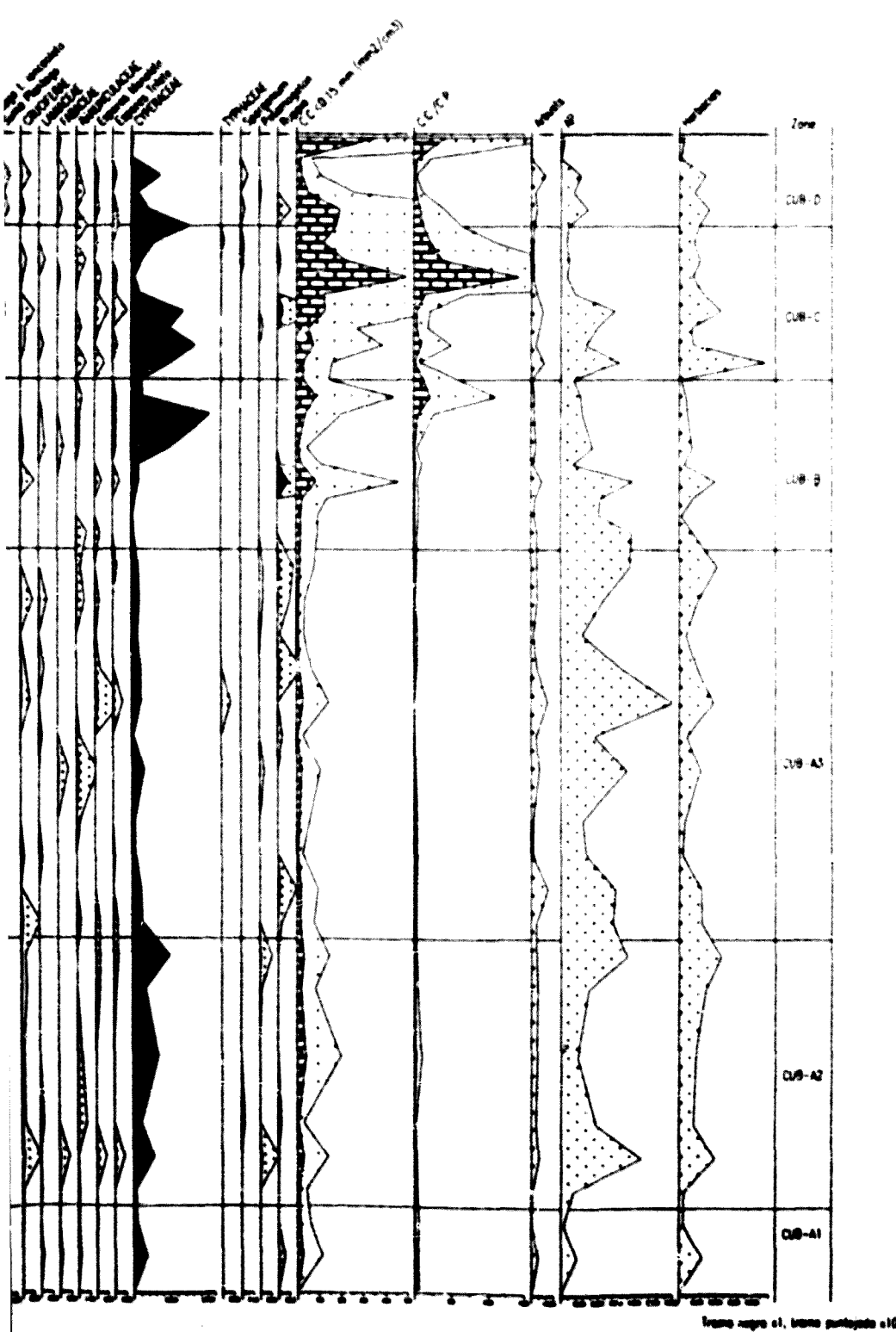
Fig. VI.5. Gràfica de situació de les diverses datacions absolutes, en relació a la fondària i a l'edat. Entre parenthesis, apareixen els números de referència dels laboratoris que han realitzat les analisis.



Fig. VI 6 Fotografía a 400 aumentos del microfósil Tipus A

SONDATGE	FONDÀRIA (cm)	EDAT (anys B.P.)	EDAT CALIBRADADA	REFERÈNCIA
BESOS	1275-1290 1600-1625 2140-2145 2680-2690	1310±110 1300±40 3250±50 6870±100	550-970 d.C. 657-817 d.C. 1630-1410 a.C. 5890-5580 a.C.	UBAR-232 UBAR-211 UBAR-231 UBAR-212
DRASSANES-1	1350-1370 1550-1580	7400±90 8570±470	6390-6030 a.C 8590-6430 a.C.	UBAR-132 UBAR-133
MERCABARNA	1450-1460	5100±140		Gd-4737
MURTRASSA	190-290	1248±24	690-798 d.C.	DEM/262-215
CUBELLES	130-140 204-213 320-322 424-438	950±50 2390±130 3680±80 5040±70		Gd-5918 Gd-6597 Gd-7041 Gd-5919

Taula VI.1. Resultats del conjunt de datacions absolutes, obtingudes mitjançant el mètode del  $^{14}\text{C}$ . Les dates es presenten calibrades en el cas que els laboratoris ho han fet. A la dreta s'indica la informació.



Línea del sondaje Cubelles -CUB.

SONDATGE	FONDÀRIA (cm)	EDAT (anys B.P.)	EDAT CALIBRADADA	REFERÈNCIA
BESOS	1275-1290 1600-1625 2140-2145 2680-2690	1310±110 1300±40 3250±50 6870±100	550-970 d.C. 657-817 d.C. 1630-1410 a.C. 5890-5580 a.C.	UBAR-232 UBAR-211 UBAR-231 UBAR-212
DRASSANES-1	1350-1370 1550-1580	7400±90 8570±470	6390-6030 a.C 8590-6430 a.C.	UBAR-132 UBAR-133
MIR CABRANA	1450-1460	5100±140		Gd-4737
MURTRASSA	190-200	1248±24	690-798 d.C.	DEM/ 262-213
CUBELLES	130-140 204-213 320-322 424-438	950±50 2390±130 3680±80 5040±70		Gd-5918 Gd-6597 Gd-7041 Gd-5919

Taula VI.1. Resultats del conjunt de datacions absolutes, obtingudes mitjançant el mètode del  $^{14}\text{C}$ . Les dades es presenten calibrades en el cas que els laboratoris ho han fet, i junta la informació.

CUBELLES (MARINA PENEDESCA) 0.96 m s/nm  
Valores de Concentración Polimérica

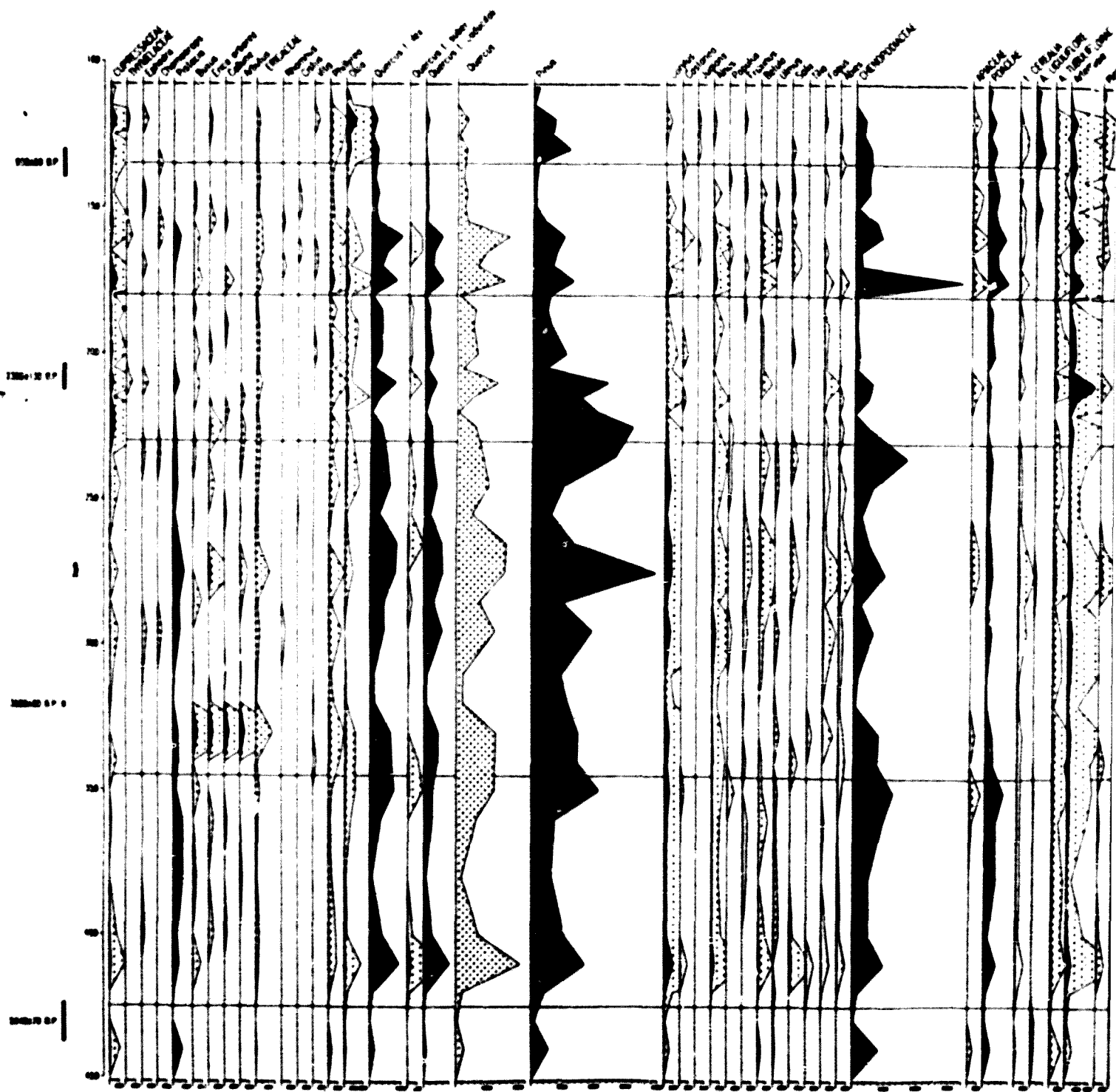
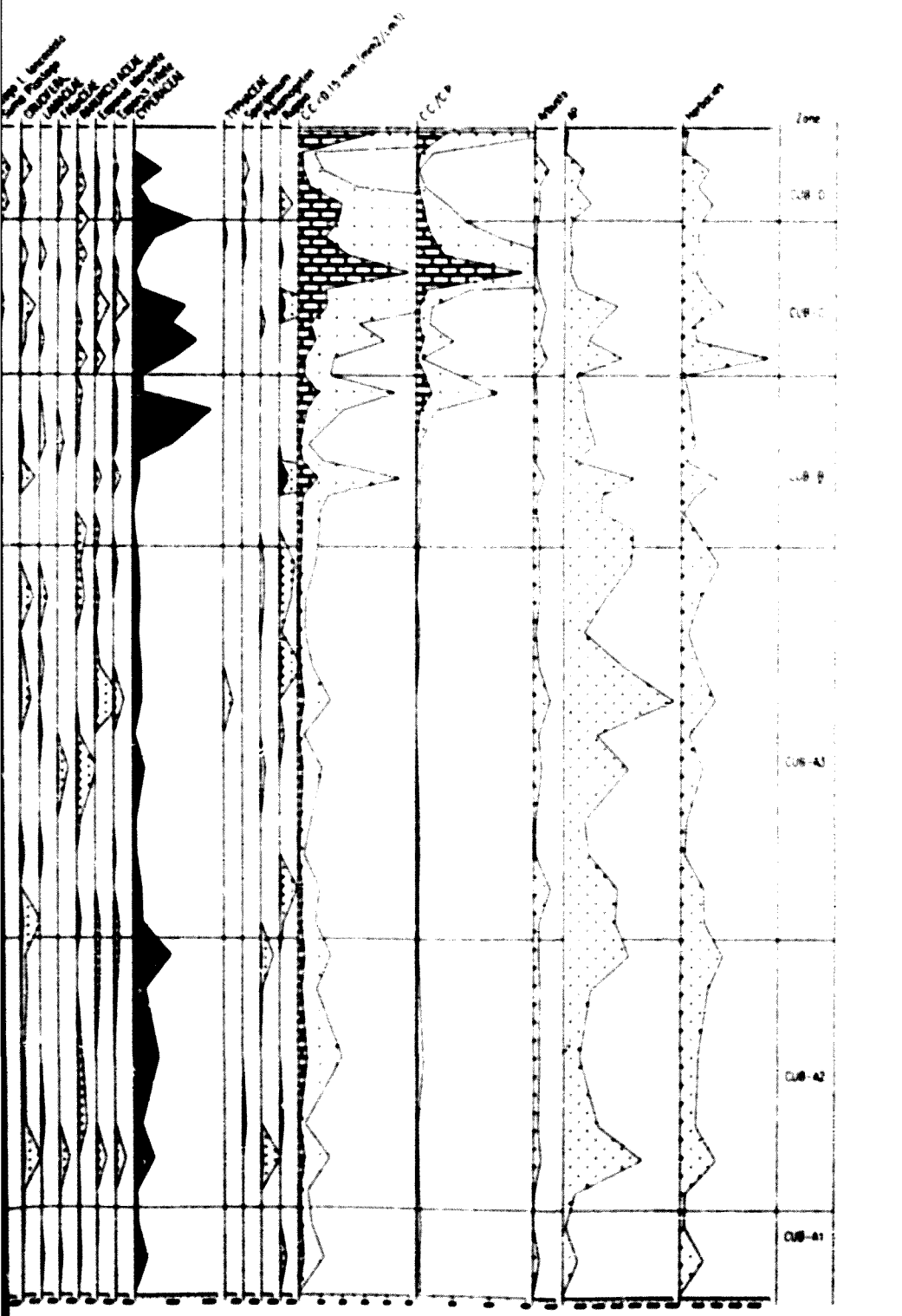


Fig. VII-11. Diagrama polilíne de Concentració Pt



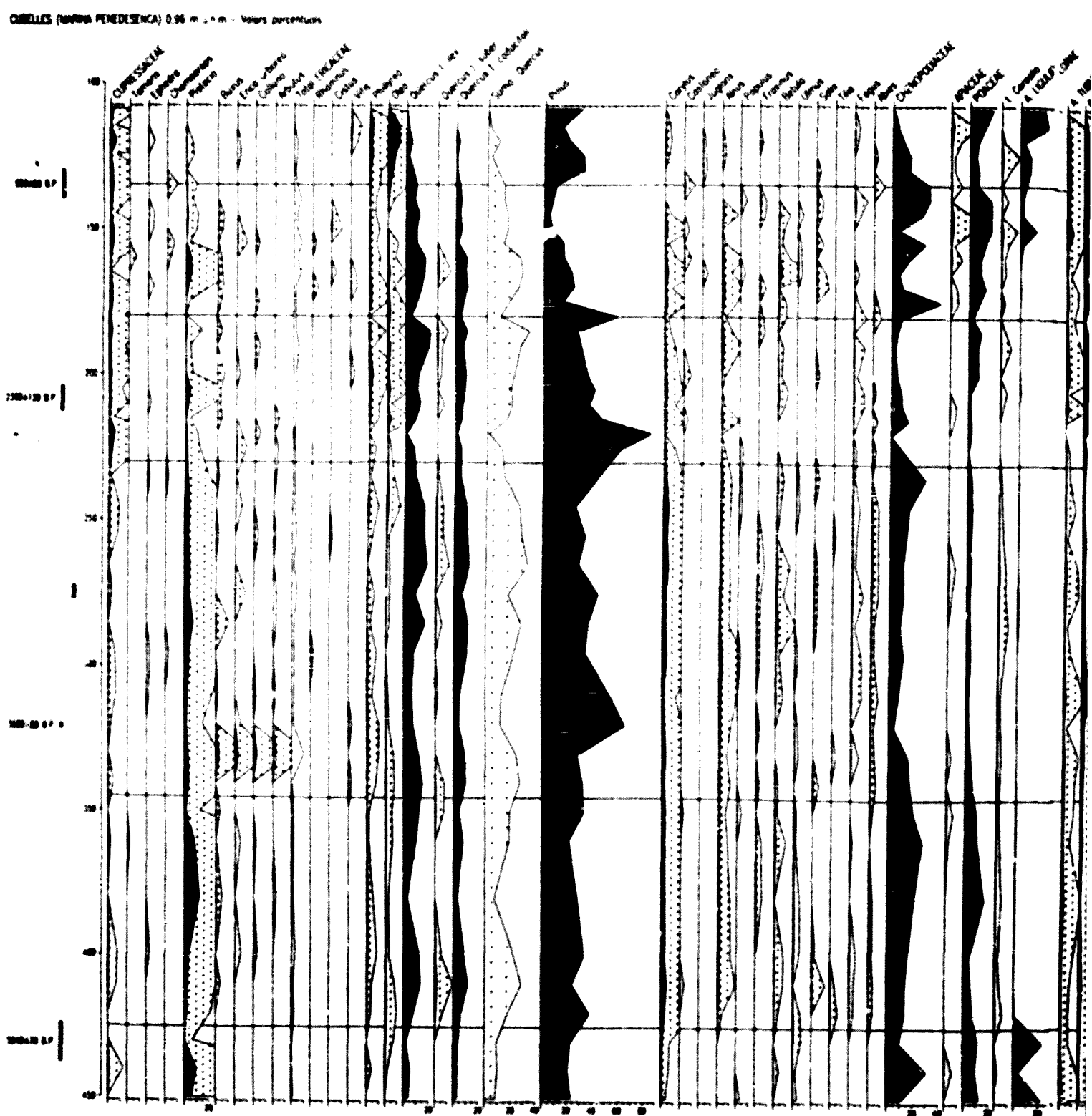
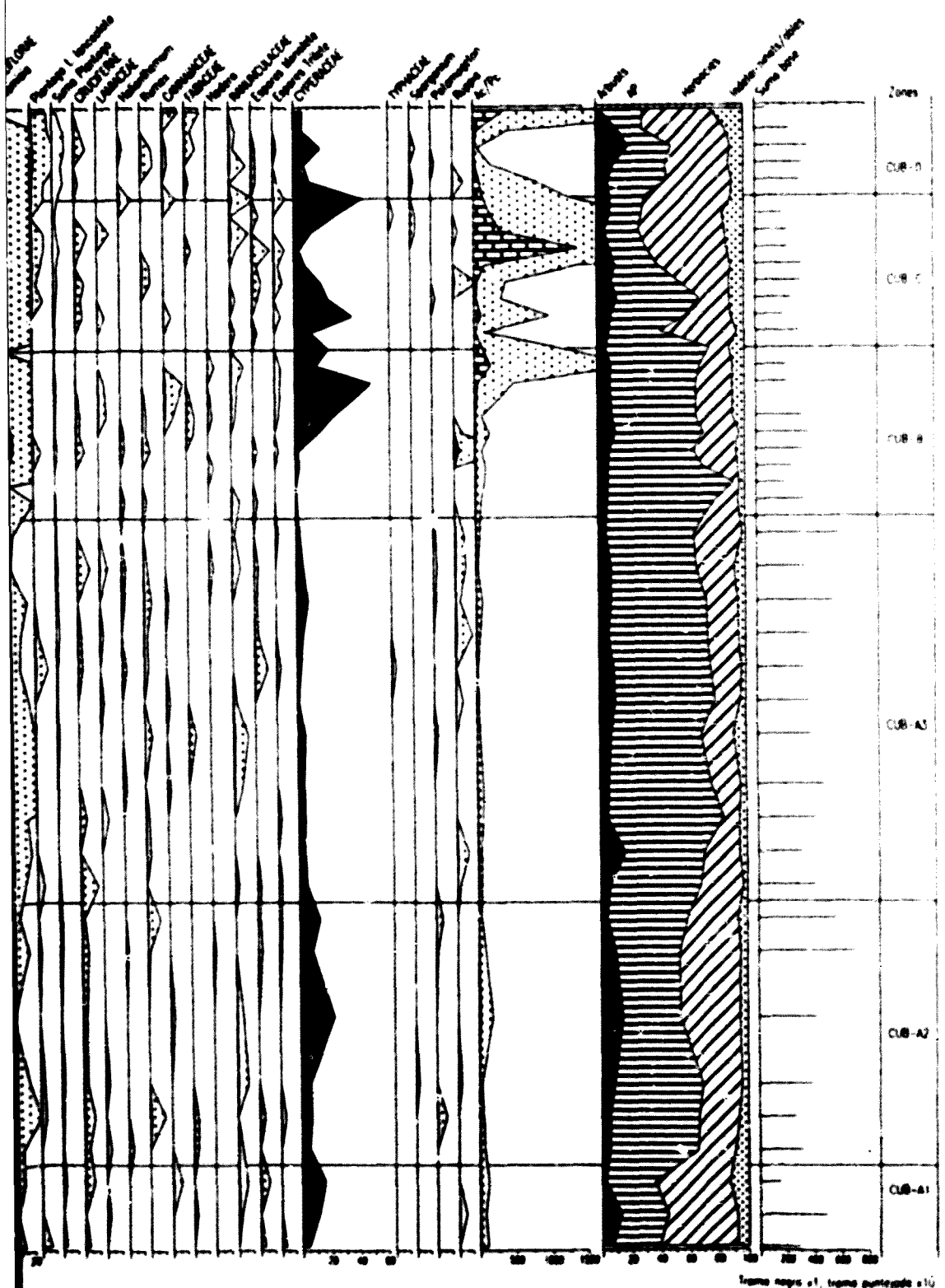
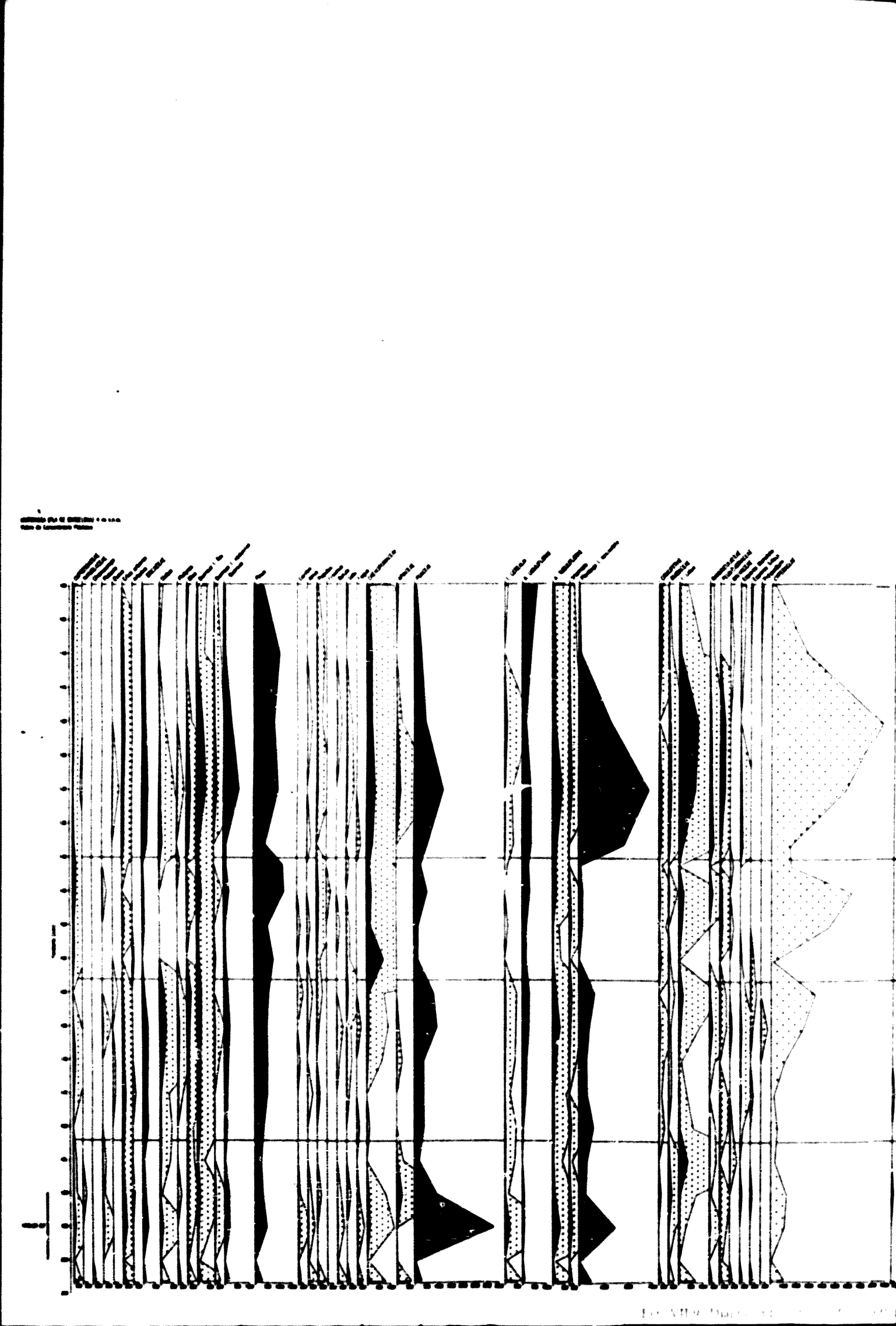
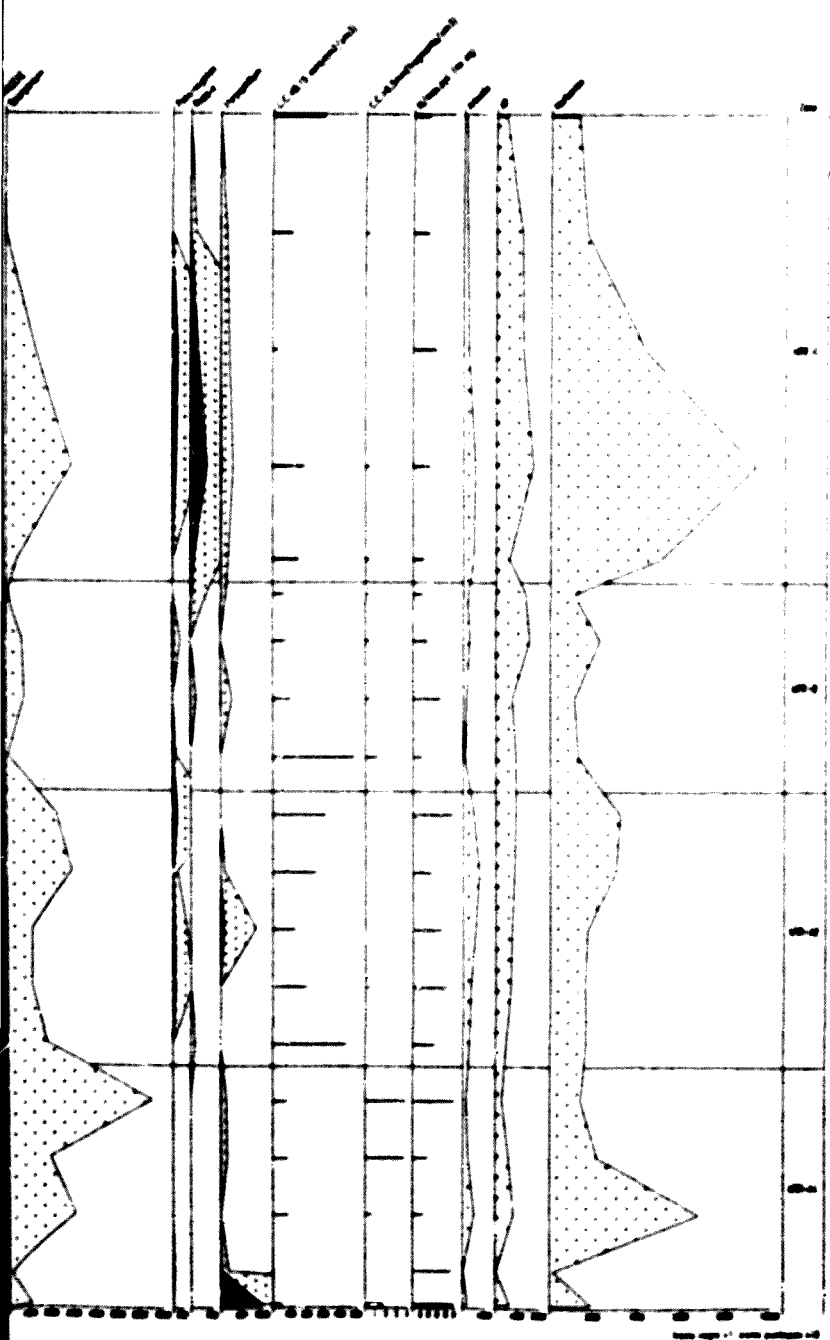


Fig. VII-10. Diagrama polílico percentual del sondaje.







MARQUES (PLA DE BARCELONA) 4 m x 2 m  
MARES MARQUES

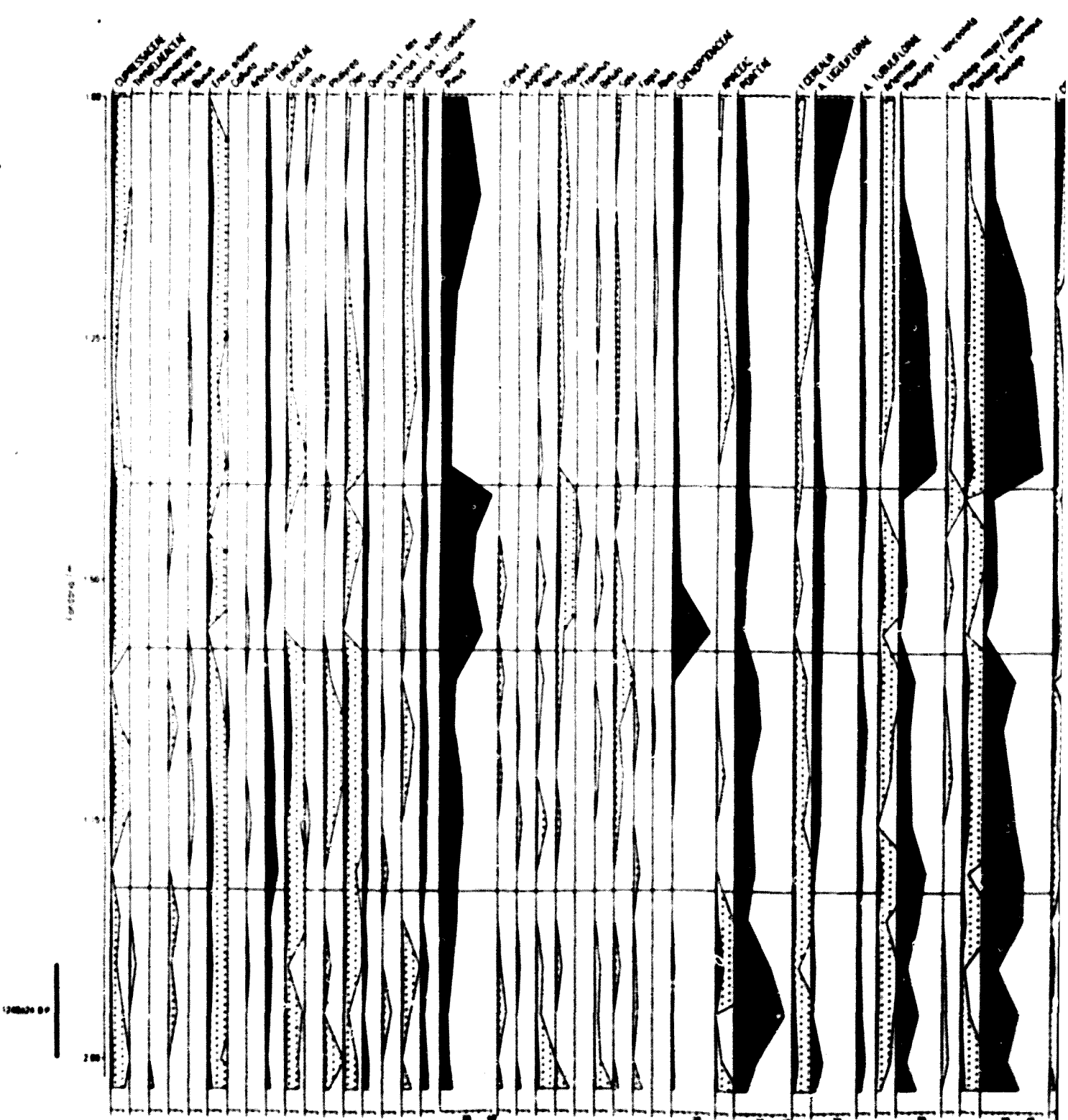
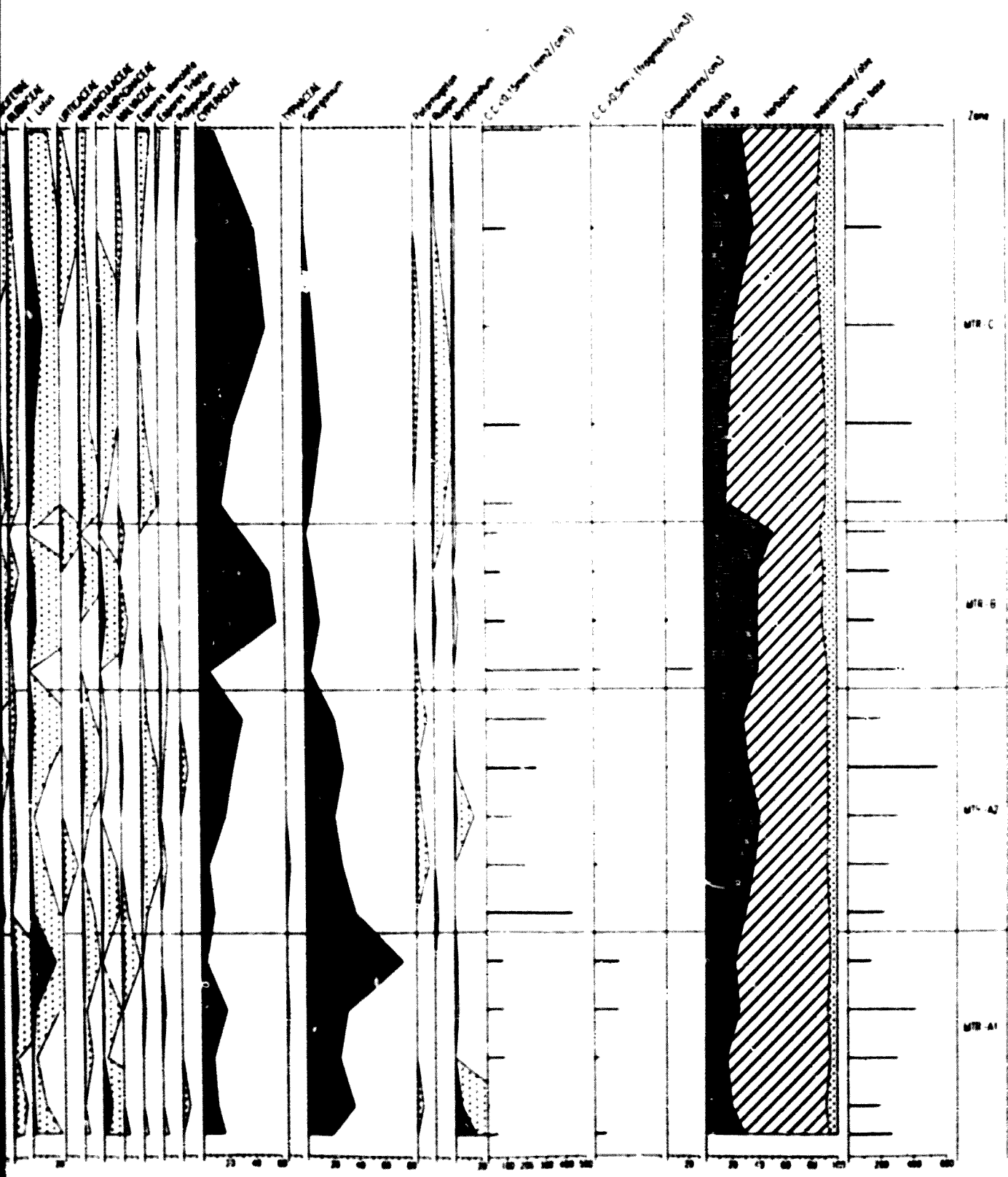


Fig. VII.8. Diagrama



MERCABARNA (PLA DE BARCELONA) 5 m S.M.N.  
Són Concentracions Polímica (en mg/m<sup>3</sup>)

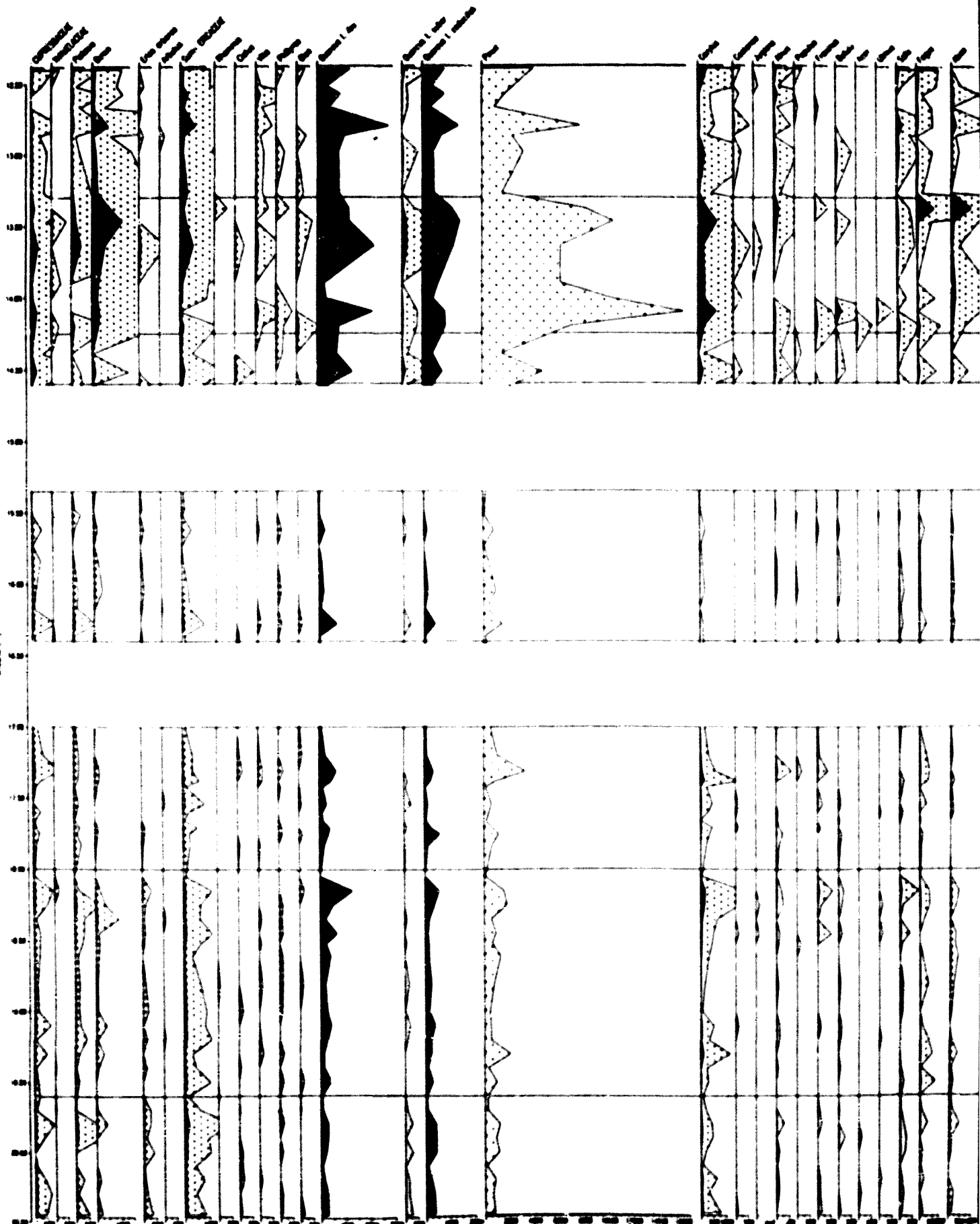
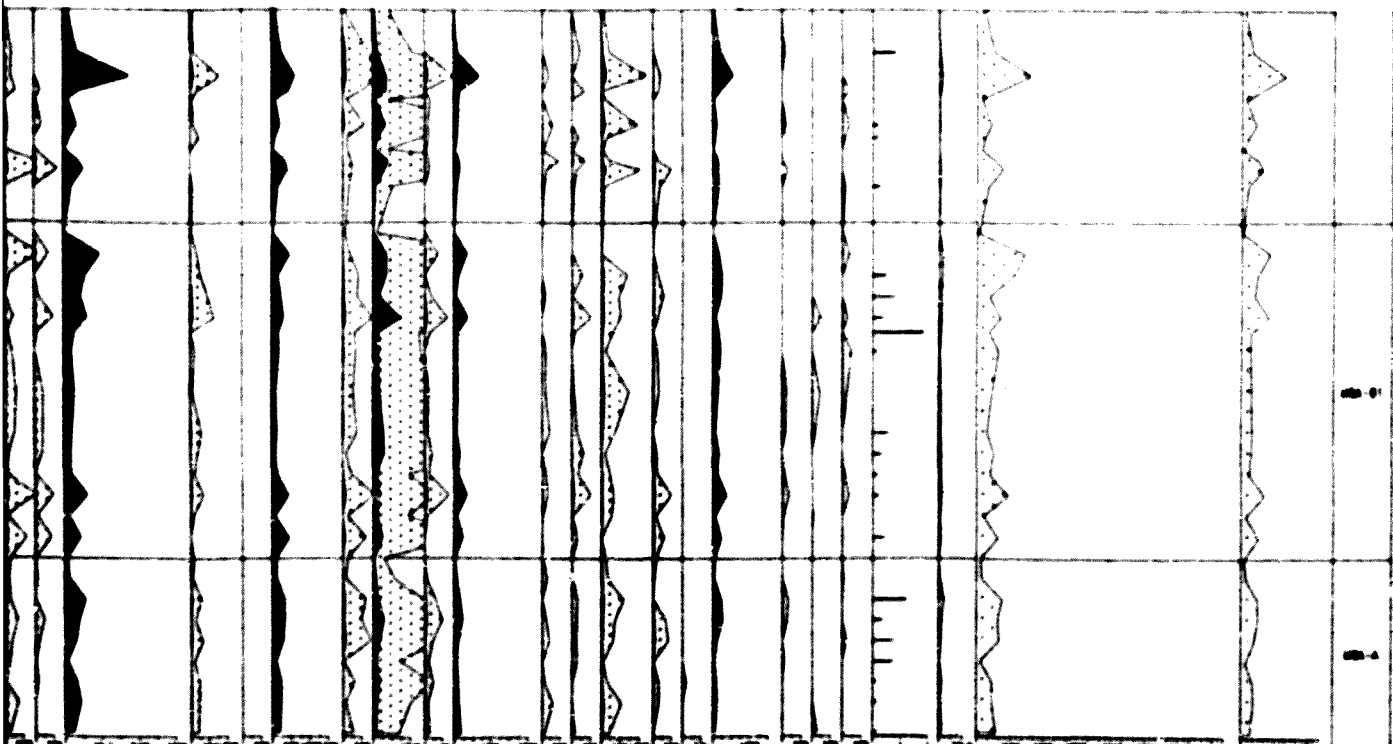
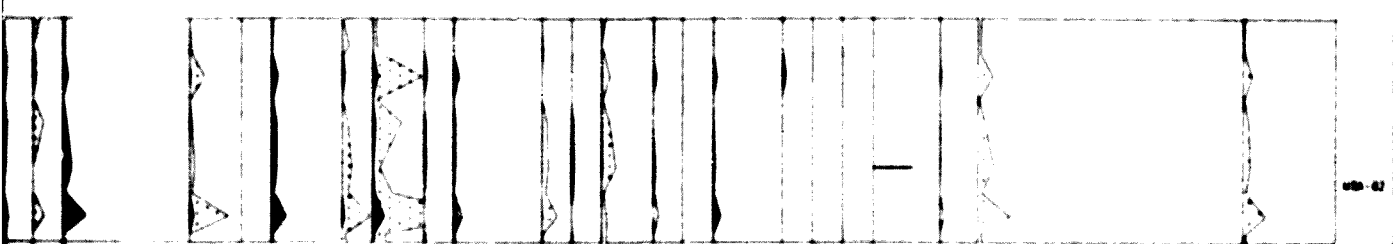
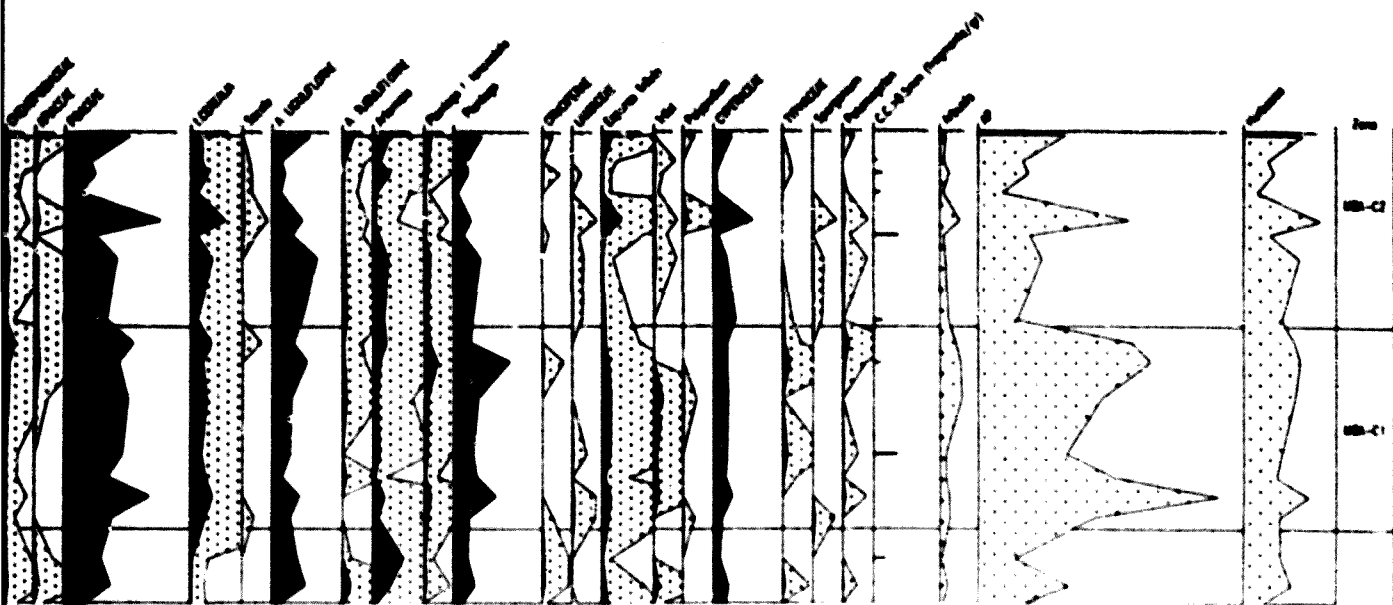


Fig. VII.7. Diagrama polilínc de Concentració Polímica del sondatge Mercabarna



MERCABARNA (PLA DE BARCELONA) 6 m s.n.m - Valors percentuals

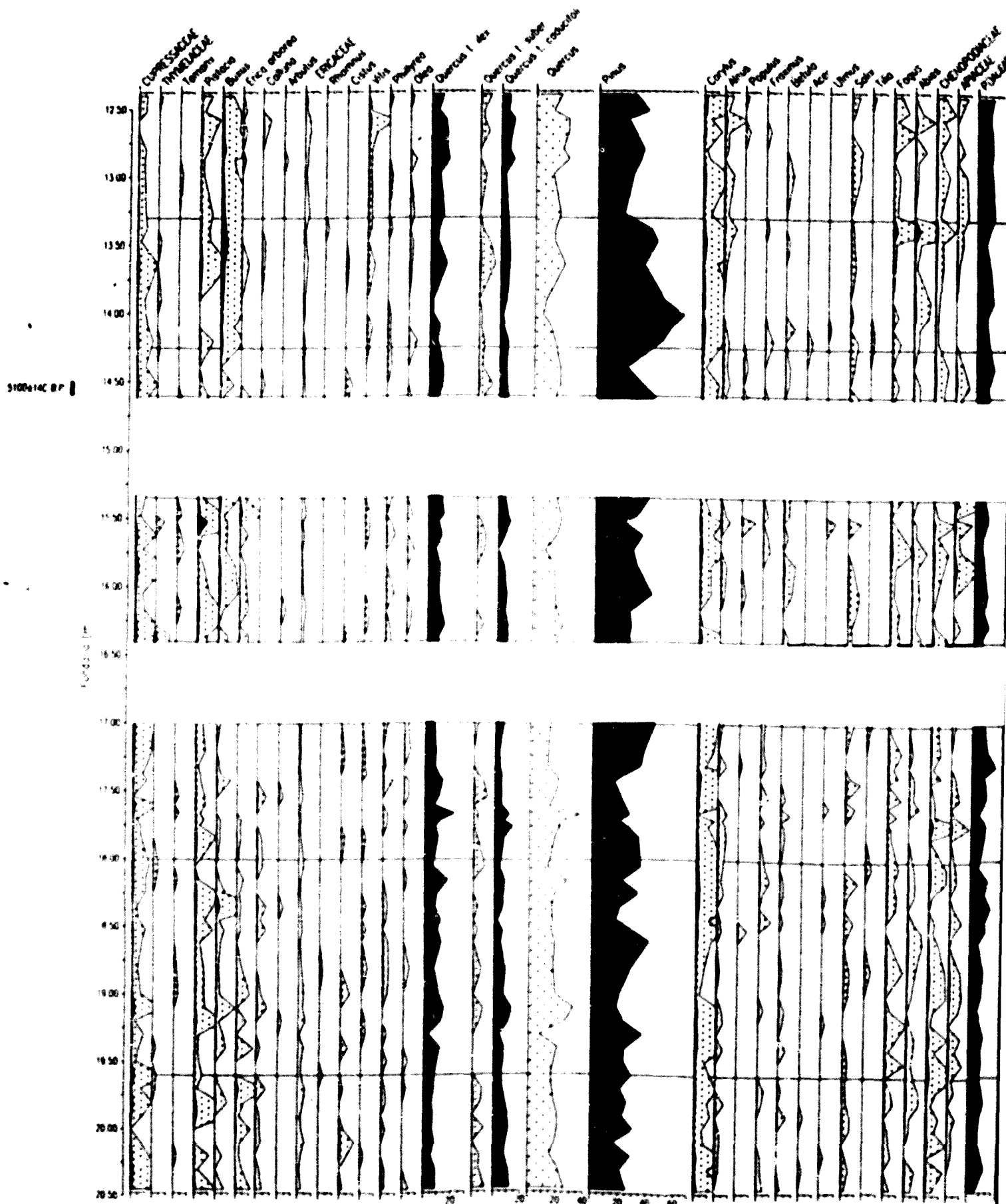
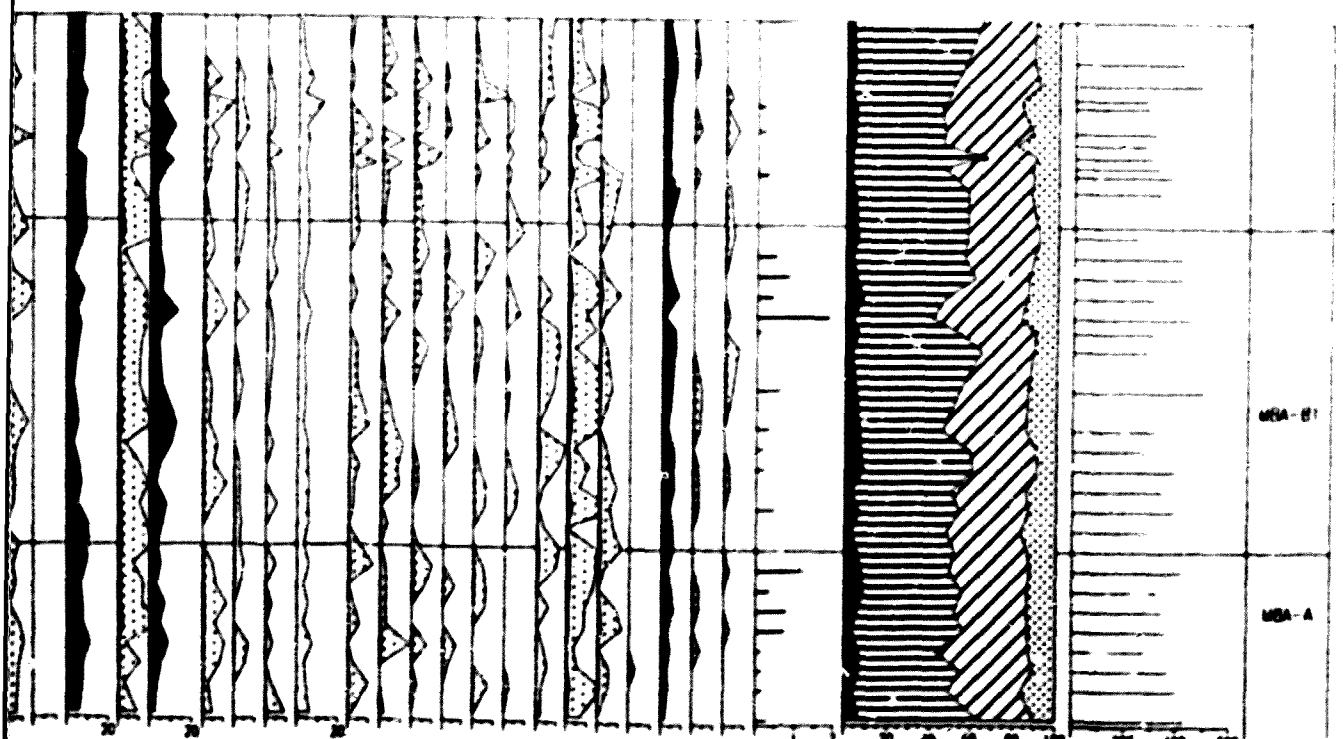
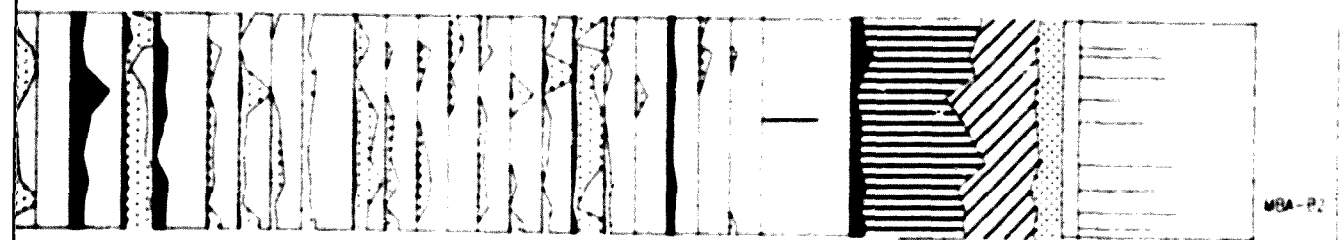
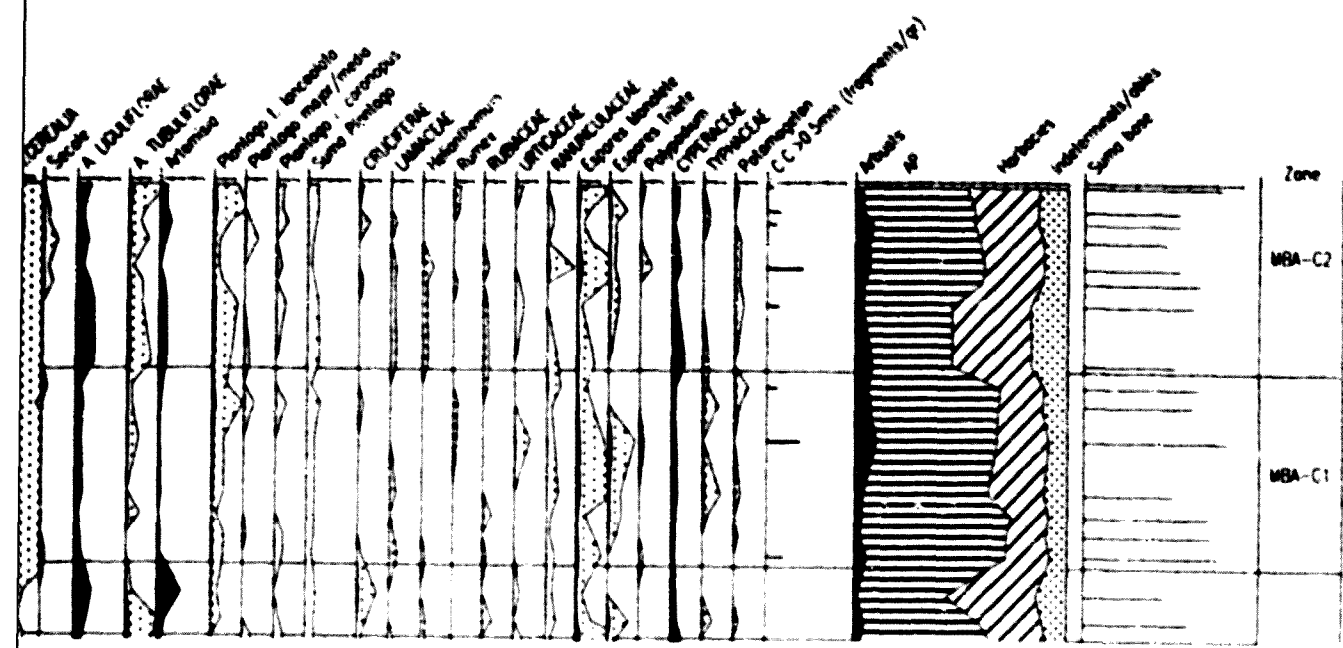


Fig. VII-1. Diagrama polilíneas



CAN CLOT (PLA DE BARCELONA), 12 m.s.m.  
Mare de Concentració Pol. 1.0

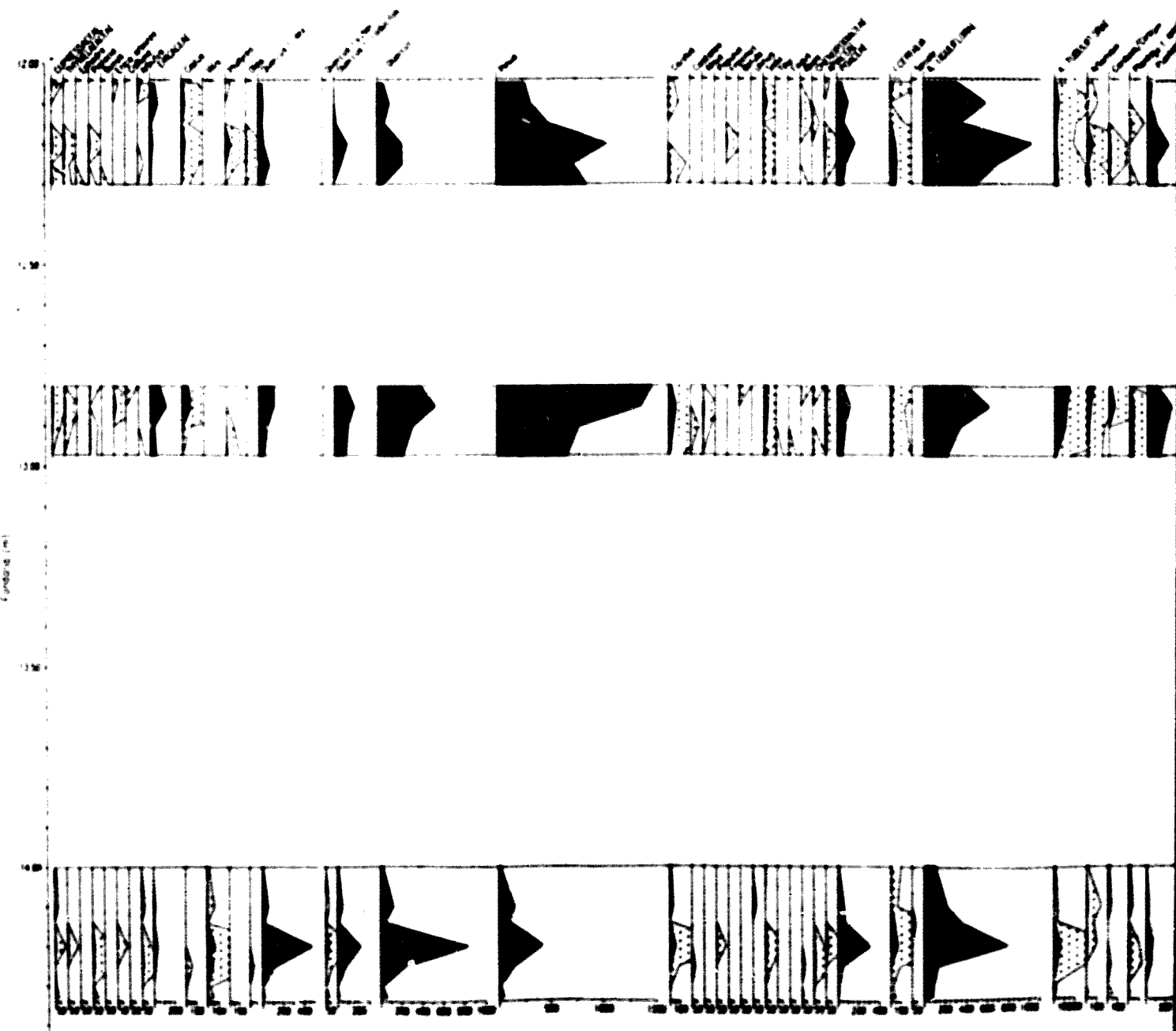
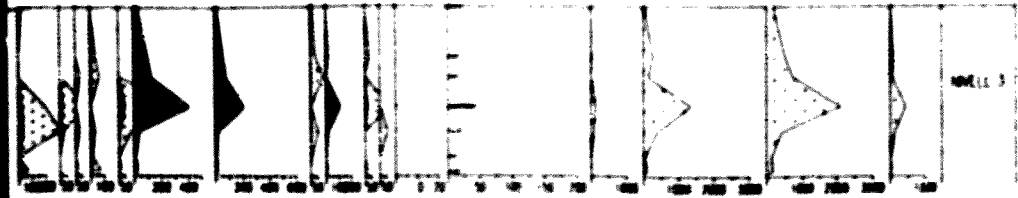
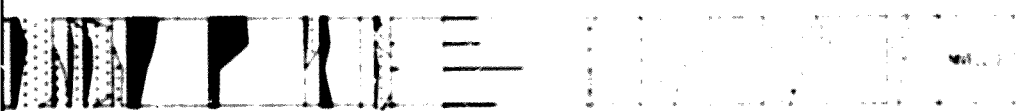


Fig. VII.5. Diagrama polílinic de Concentració Pol. 1.0



ica, del sondatge Can Clot -CCL.

figura següent. Imatge pujant a x10

Can Clot (Pla de Barcelona) 12 m x 6 m

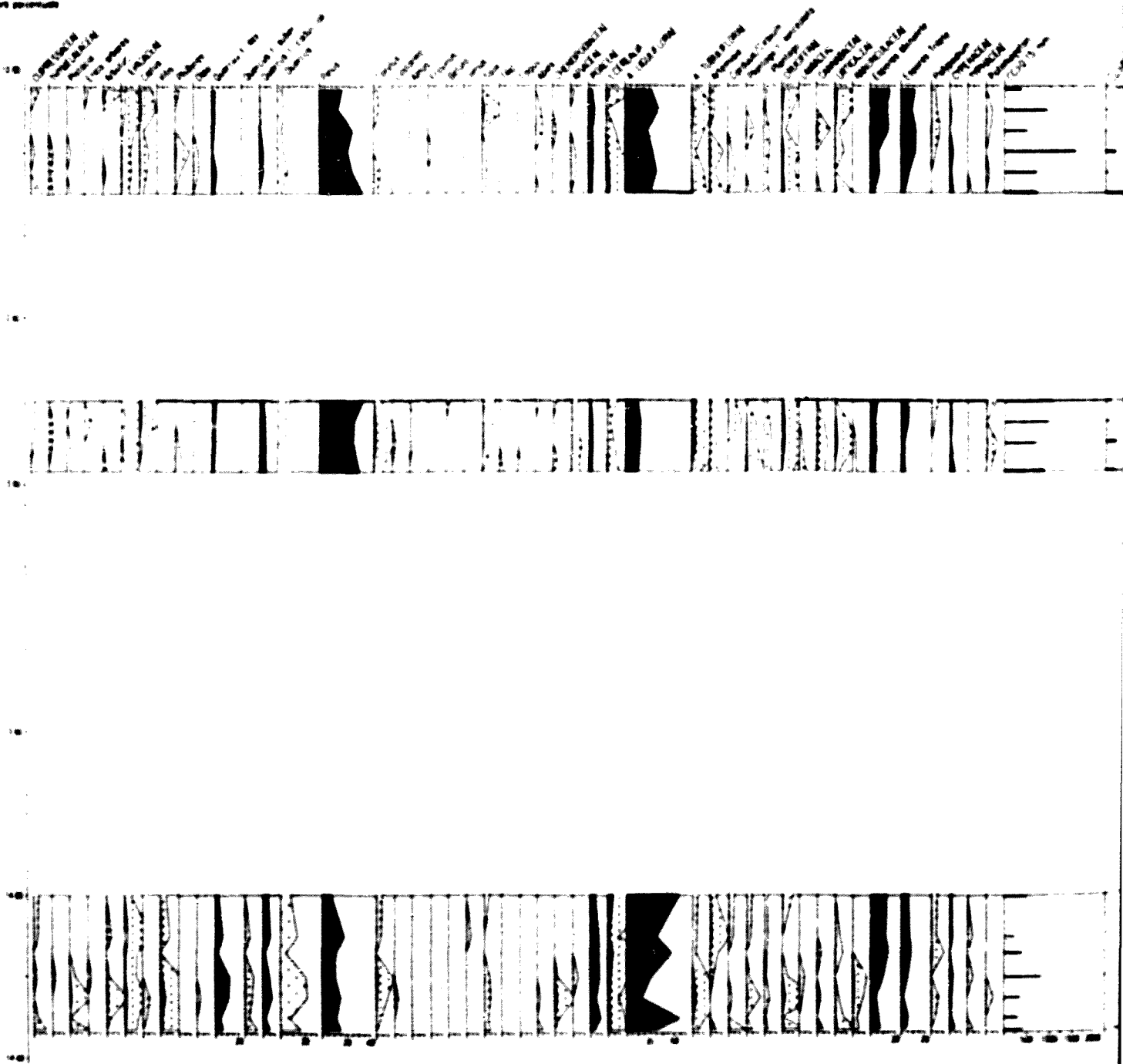
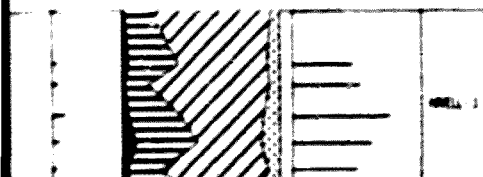
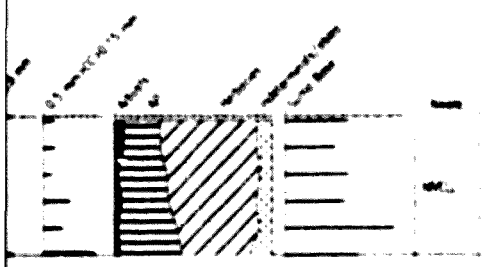
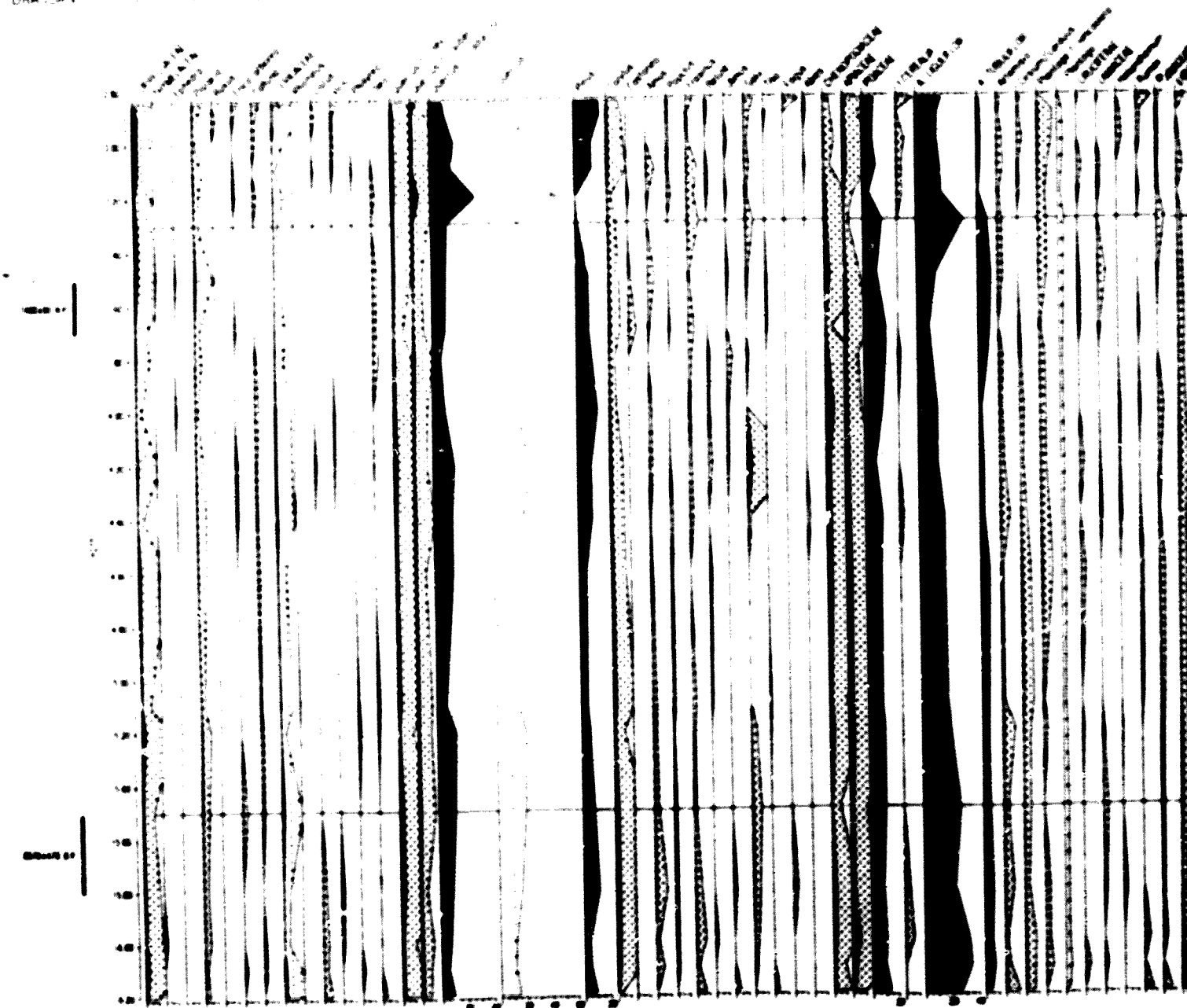
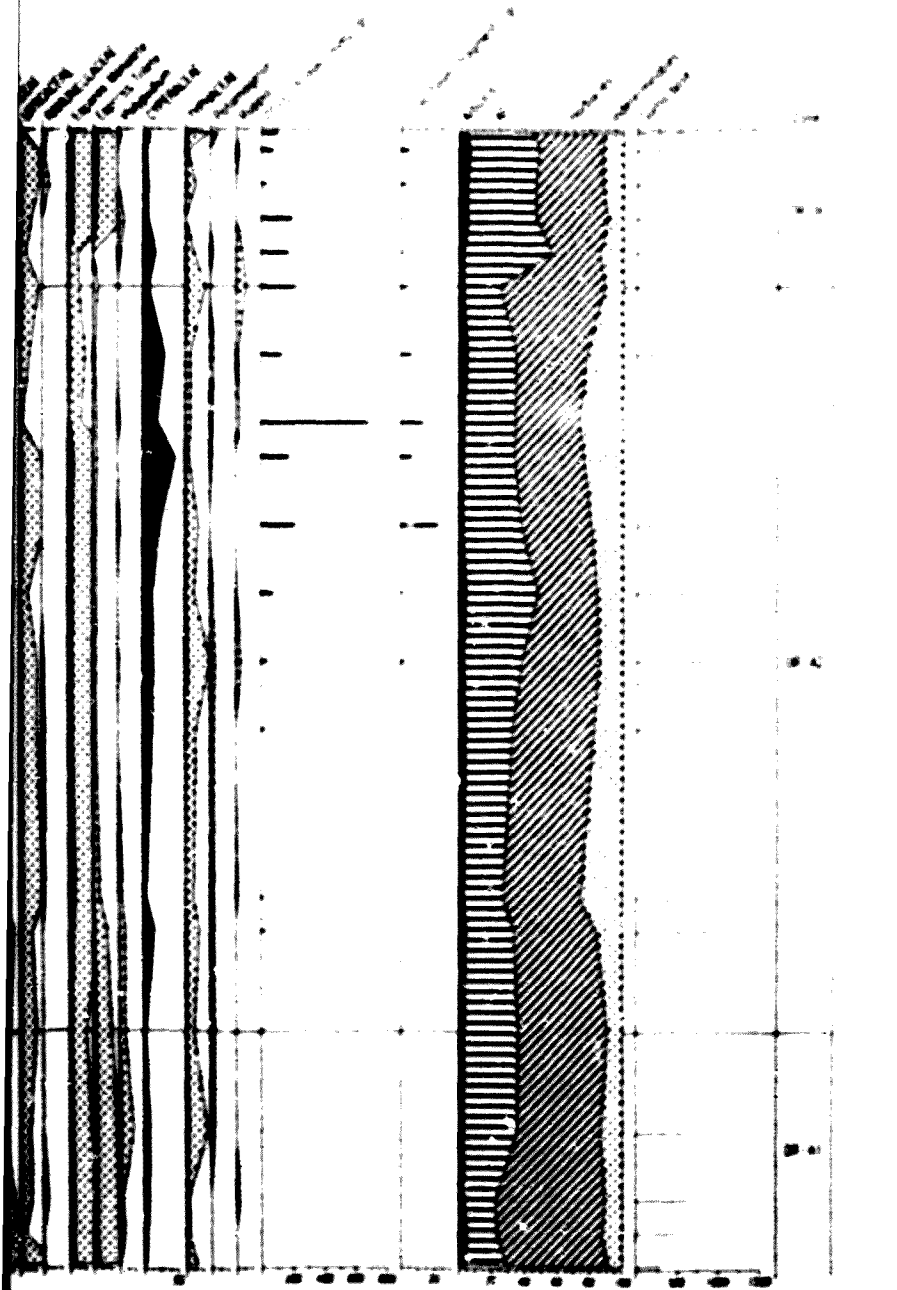


Fig. VII 4. Diagrama pol línic percentual del sondatge Can Clot - CCI



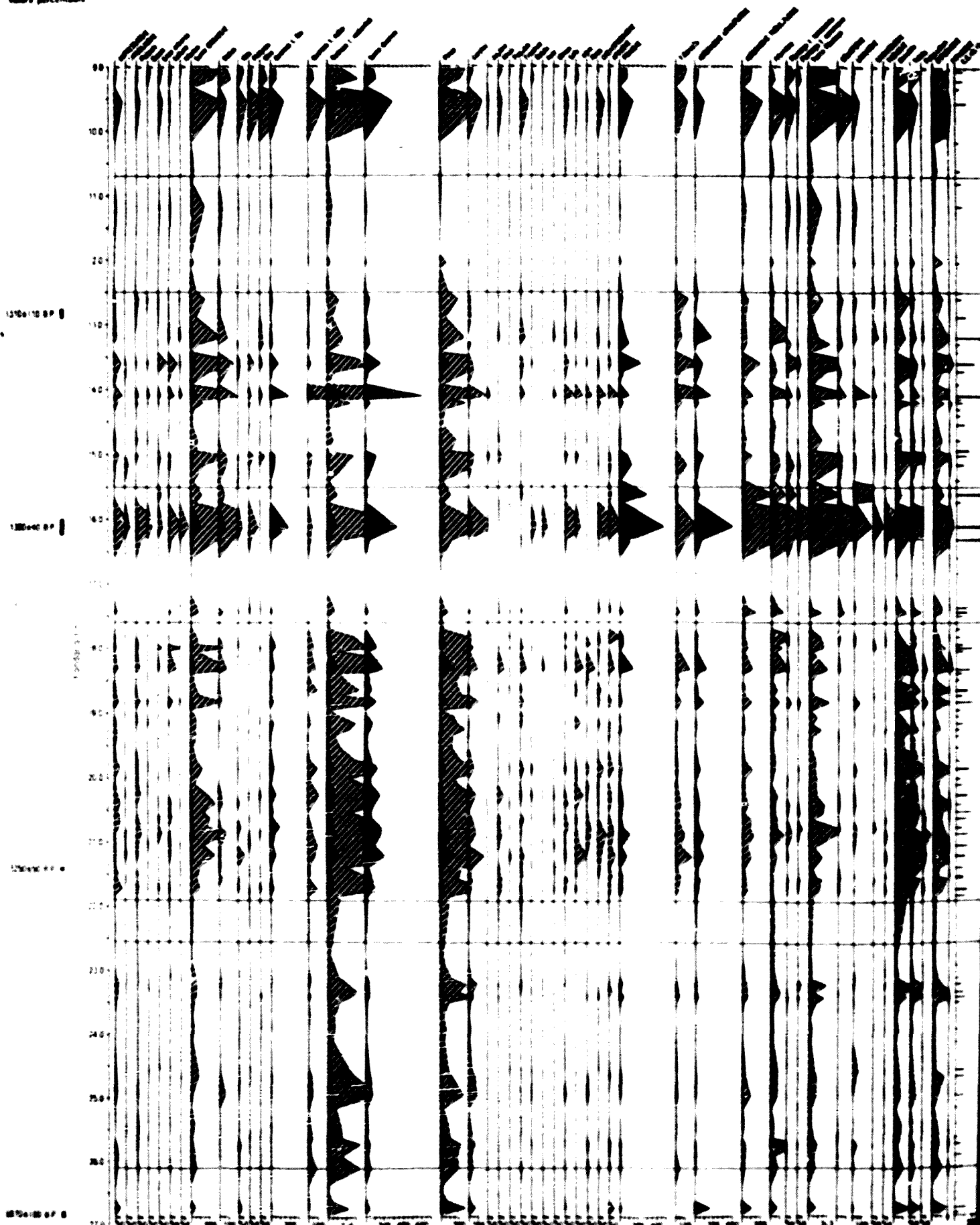
DRAZAN - THE DRAZAN GROUP OF FISHES

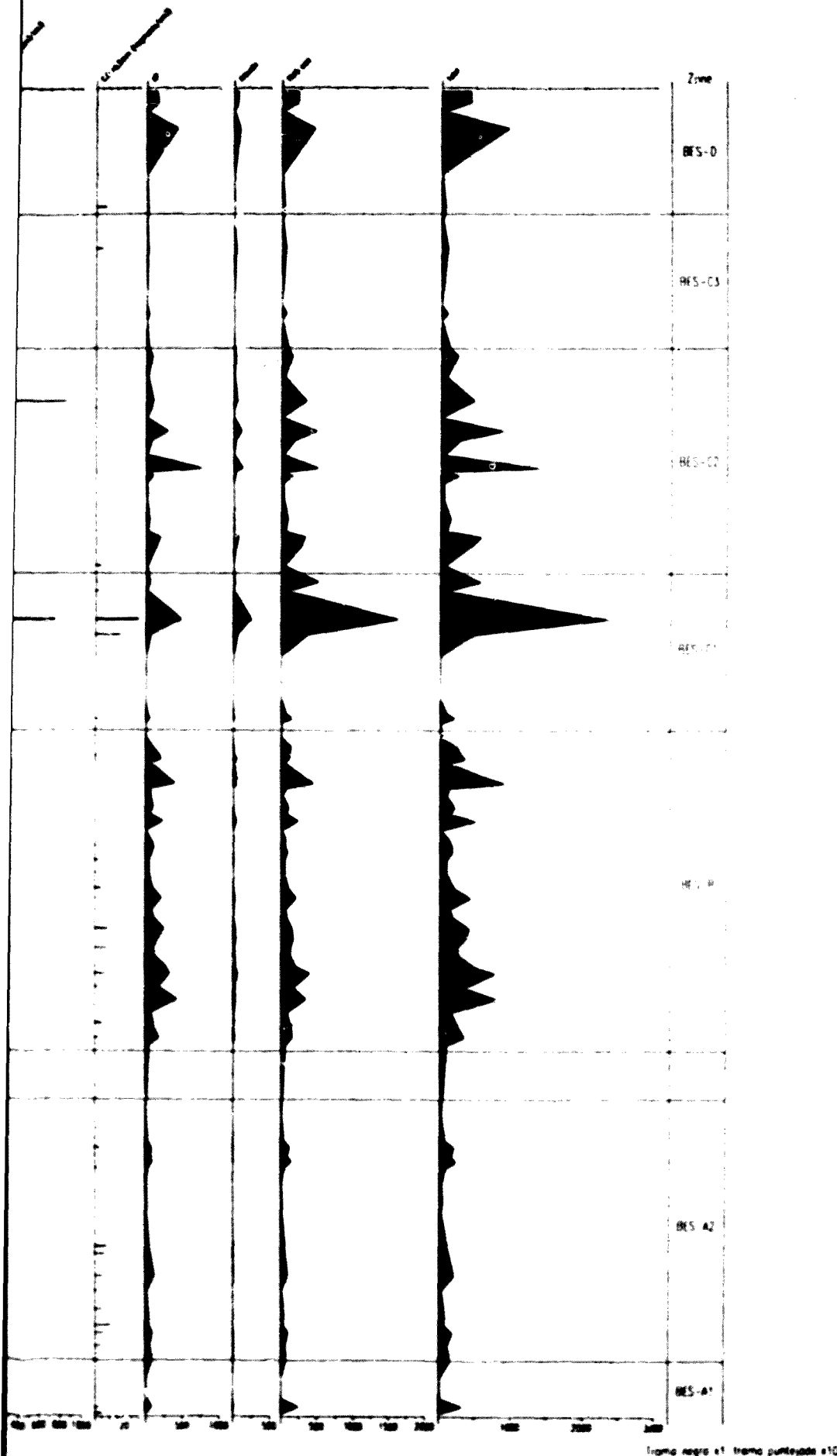




del sondaggio Dmax alla TIR

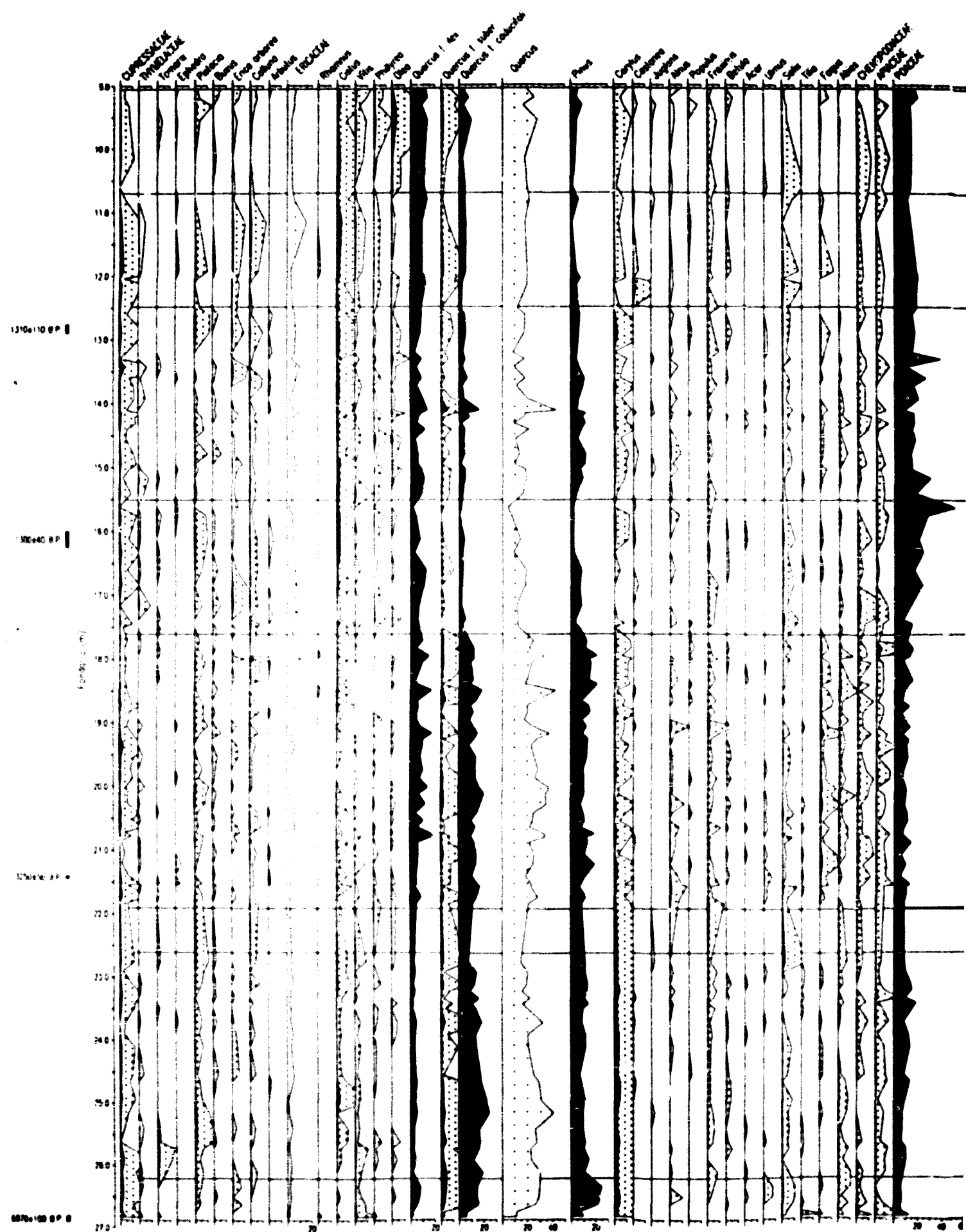
RESOS (PLA DE BARCELONA) 7 m.s.m.  
Water potential

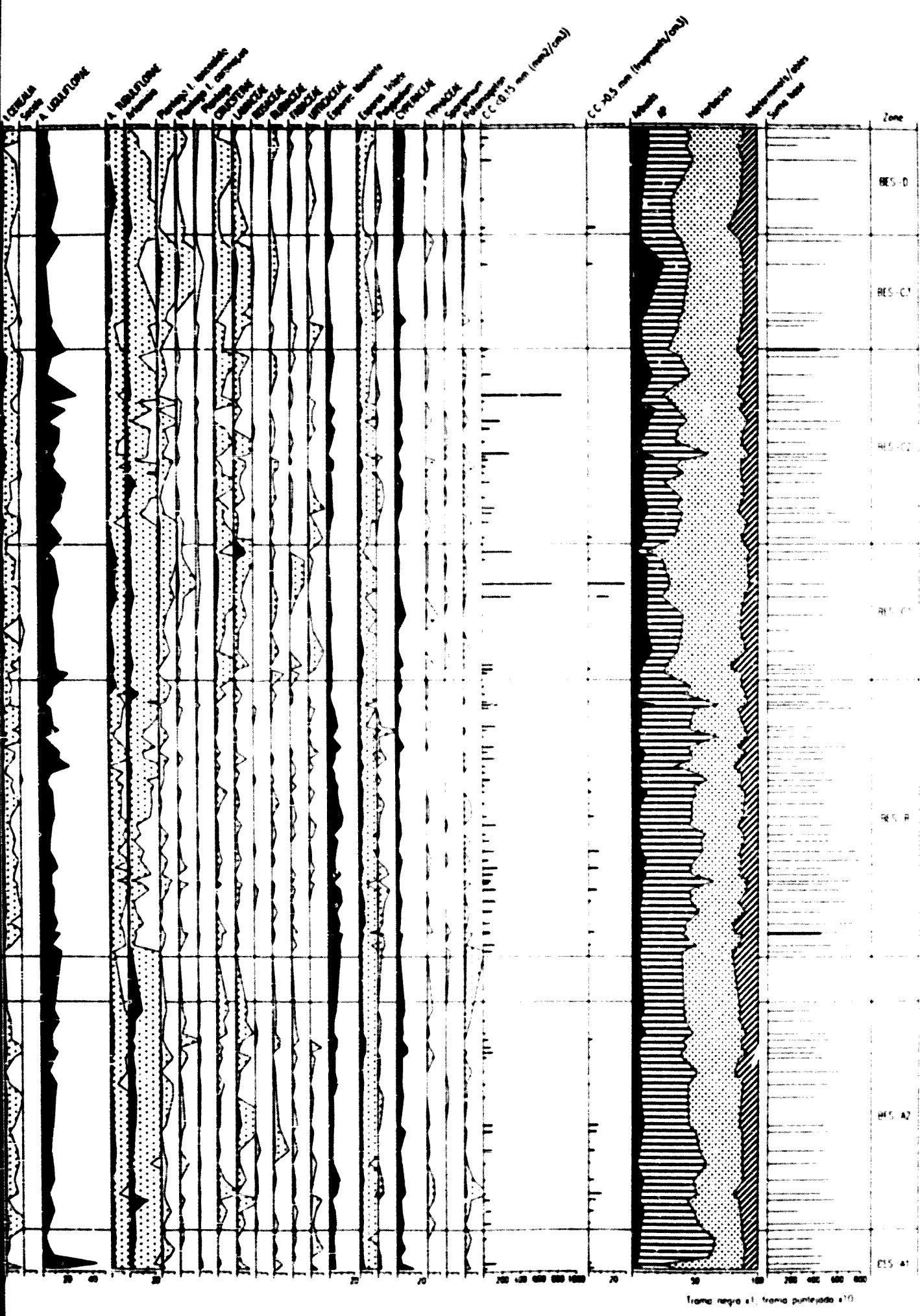




frame negro + frame pulteyde x10

BESOS (Pla de Barcelona) 7 m s.n.m. - Valors percentuals





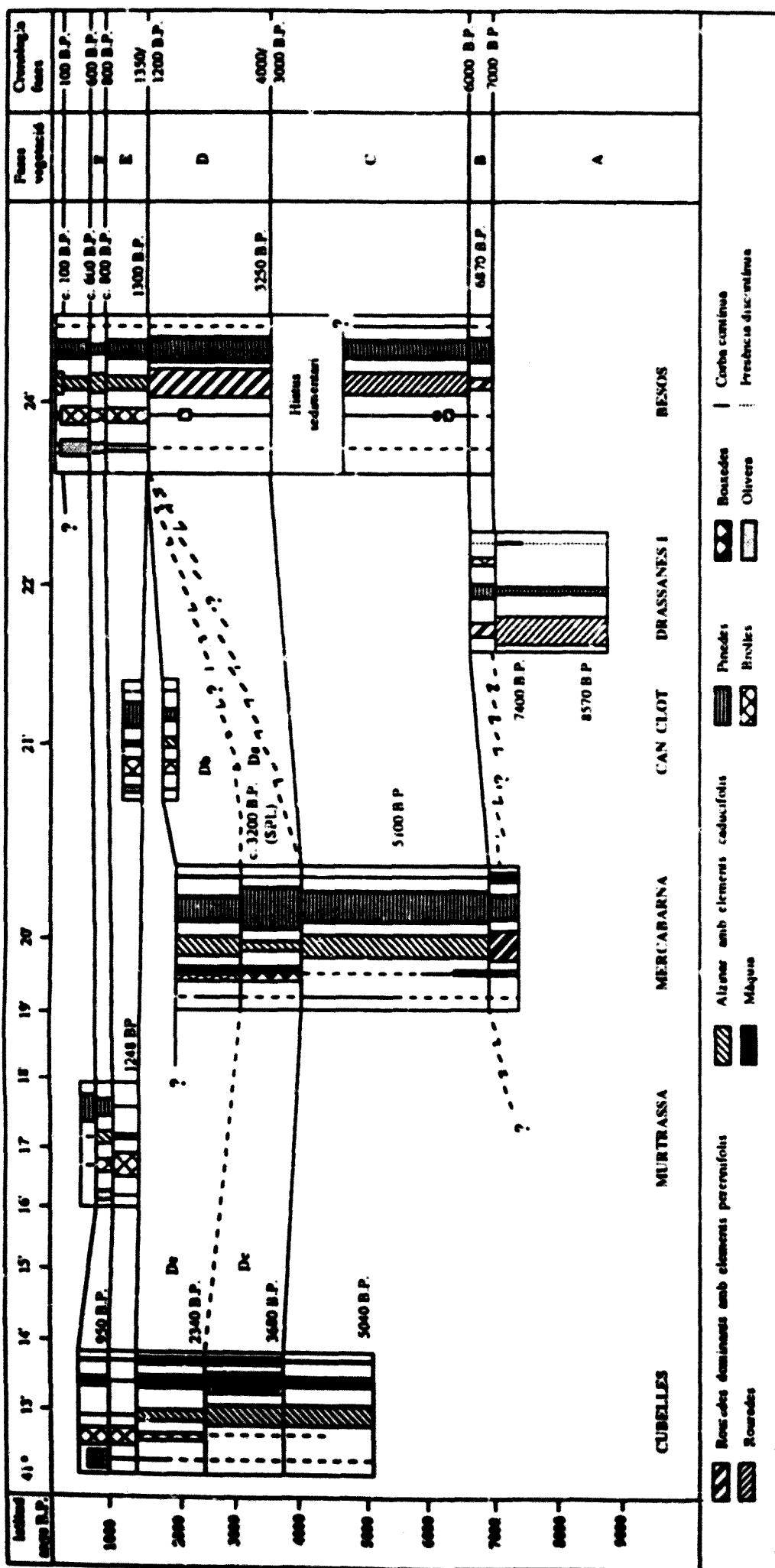


Fig. VIII.1. Quadre sinètic de les principals comunitats vegetals esteses a la costa central catalana durant els darrers 9000 anys. S'indiquen, també, les fases reperables de vegetació.

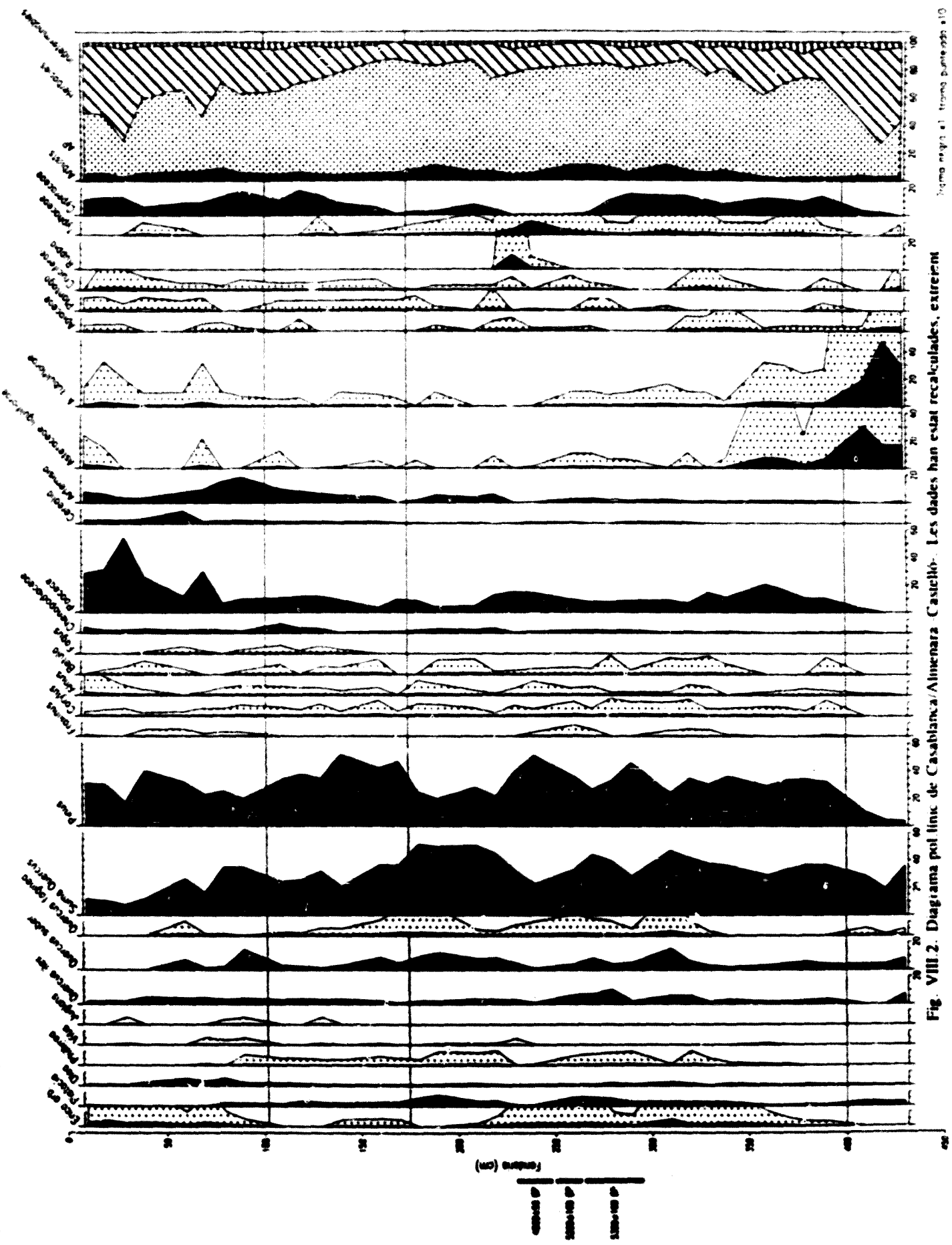


Fig. VIII.2. Diagrama polílinic de Casablanca/Almenara (Castelló). Les dades han estat recalculades, excepte en

Tremo negre al tronc duríssim a 10

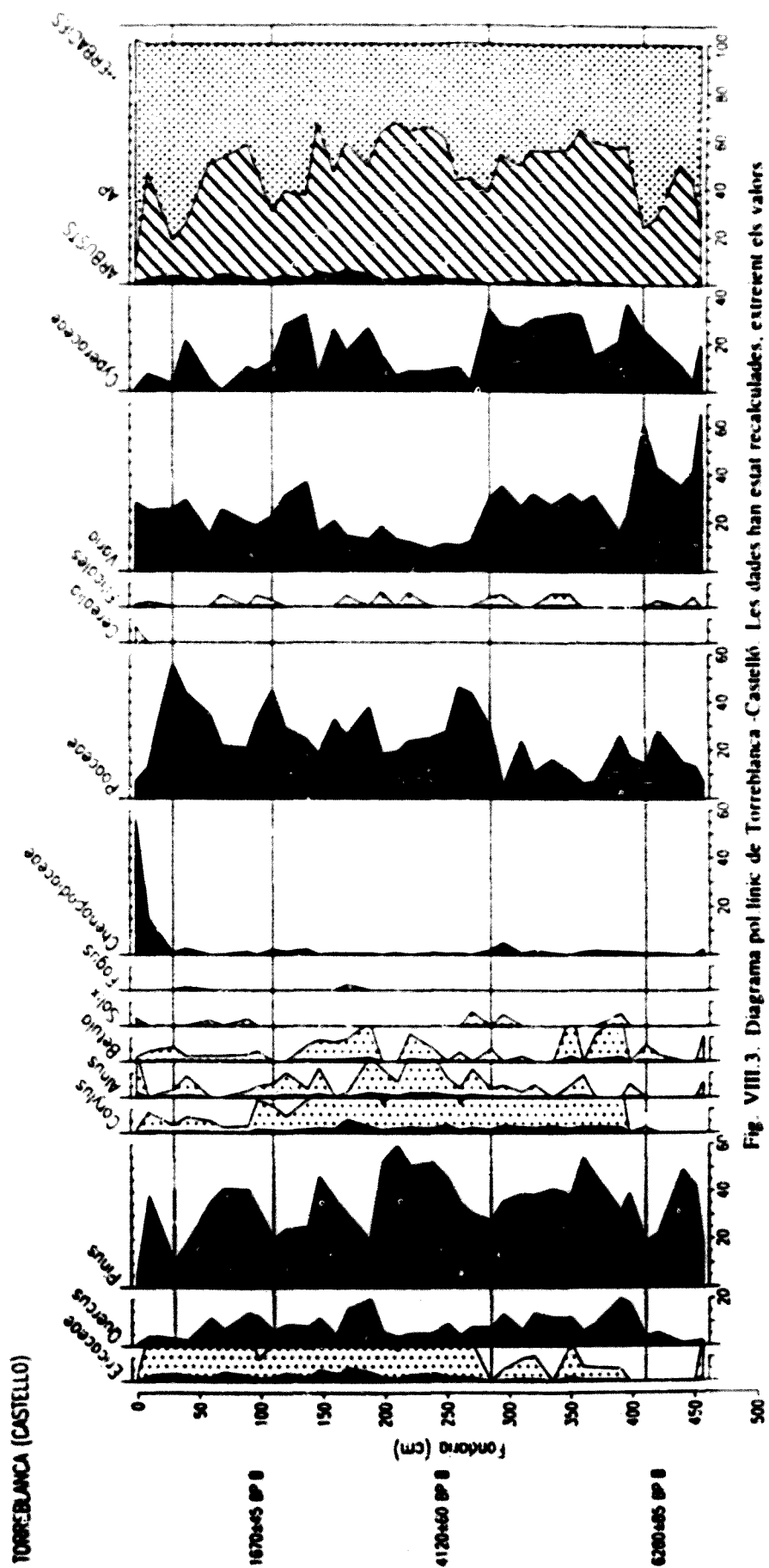


Fig. VIII.3. Diagrama polílnic de l'orreblana Castelló. Les dades han estat recalculades, estrenant els valors dels taxons aquàtics (v. cap. VI.6.1), a partir del diagrama original, publicat per J. Menéndez Amor & F. Florschütz

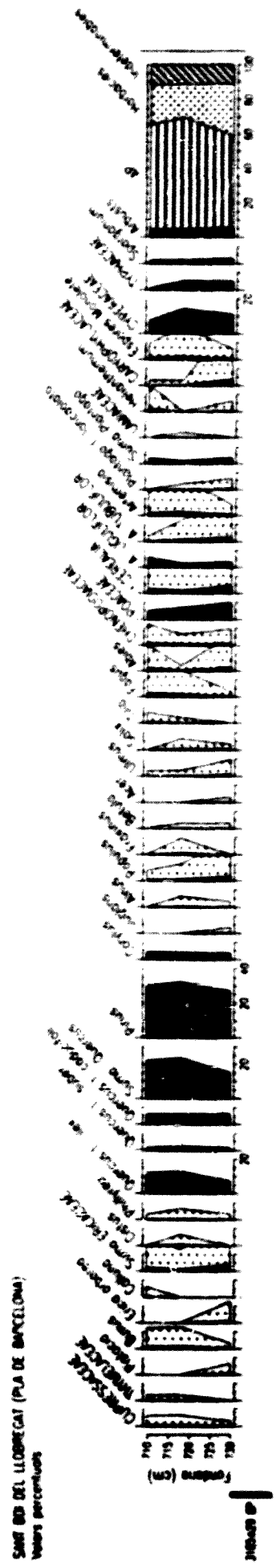


Fig. VIII.4. Diagrama polilíneal de tres muestras obtenidas en un nivel fósil de: sondeo SBL, situat a prop de St. Boi del Llobregat, al delta del riu Llobregat (v. fig. seguent)

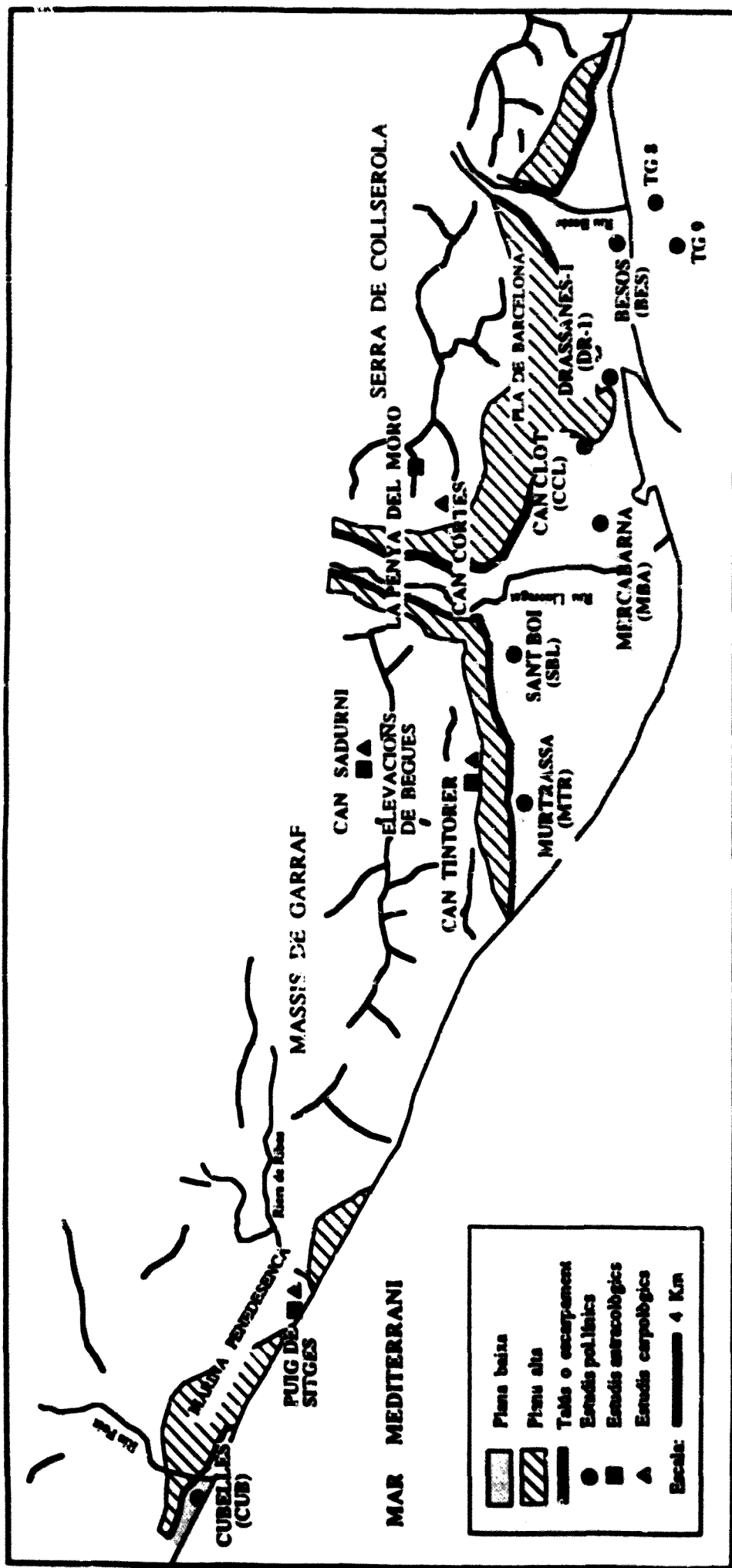
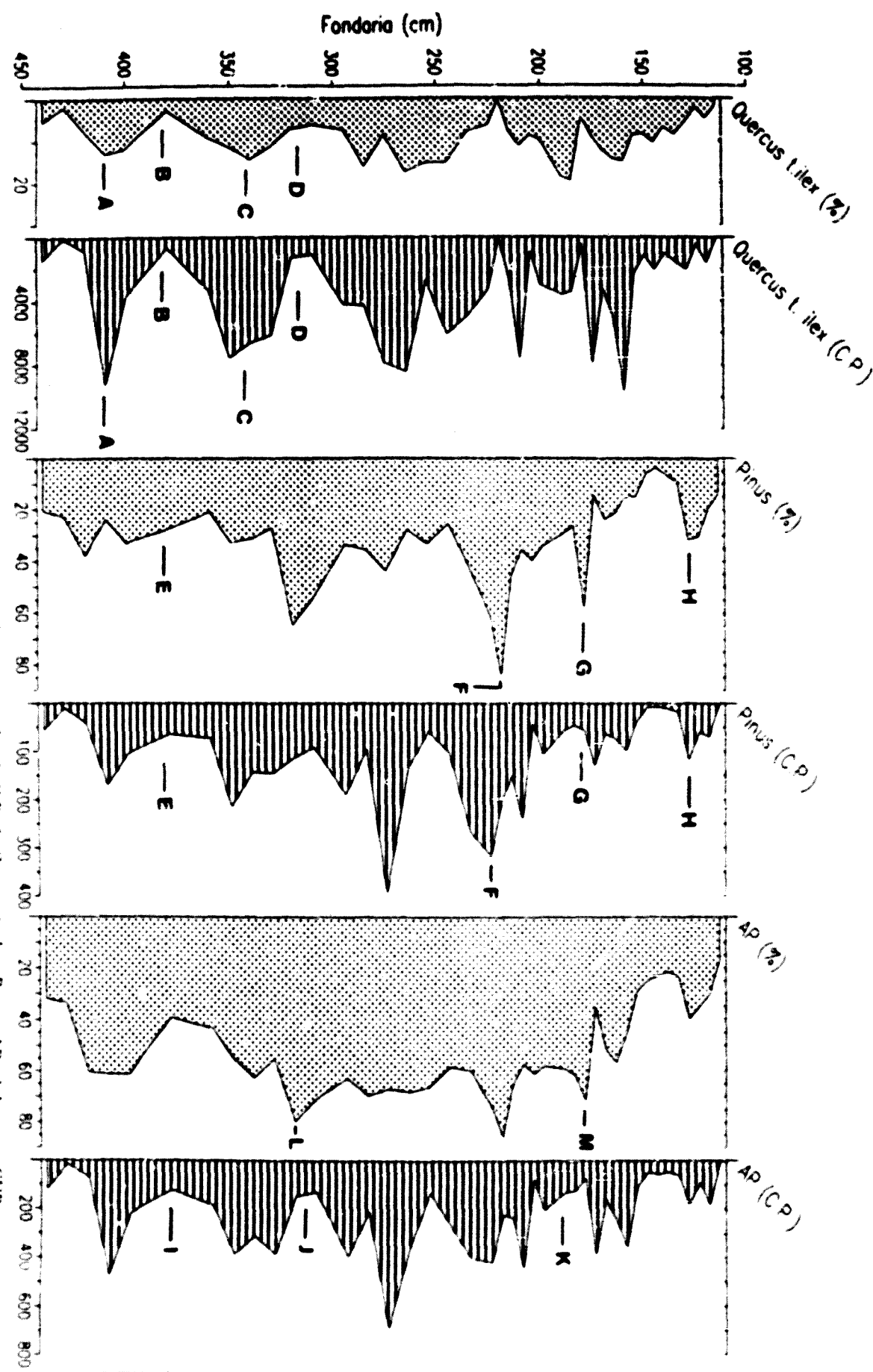


Fig. VIII.3. Localització de la trinxeria de seqüències paleontològiques (pels límques i antracòstics) al sector central de la costa catalana.

<sup>1</sup> *Vauti Vrij 1 - Proposta de correlació de les 21 dies per líneques locals identificades als diversos sondatges*

**Taula VIII 2.** Taula resum de les dades antracotíquiques disponibles al sector central de la ciutat catalana

CUBELLES (MARINA PENEDENCA) 0.96 m s n m



CUBELLES (MARINA PENEDESA)

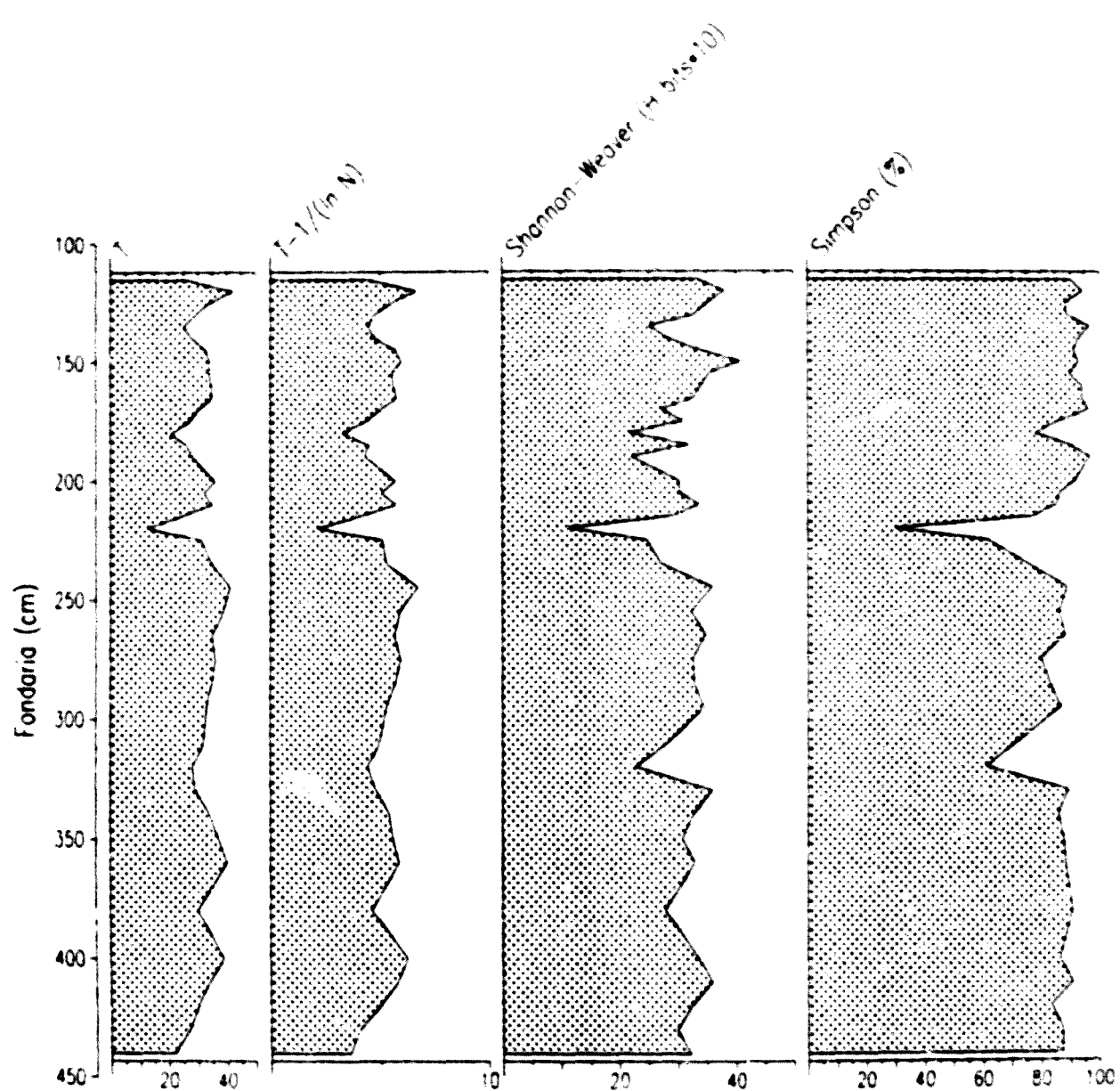
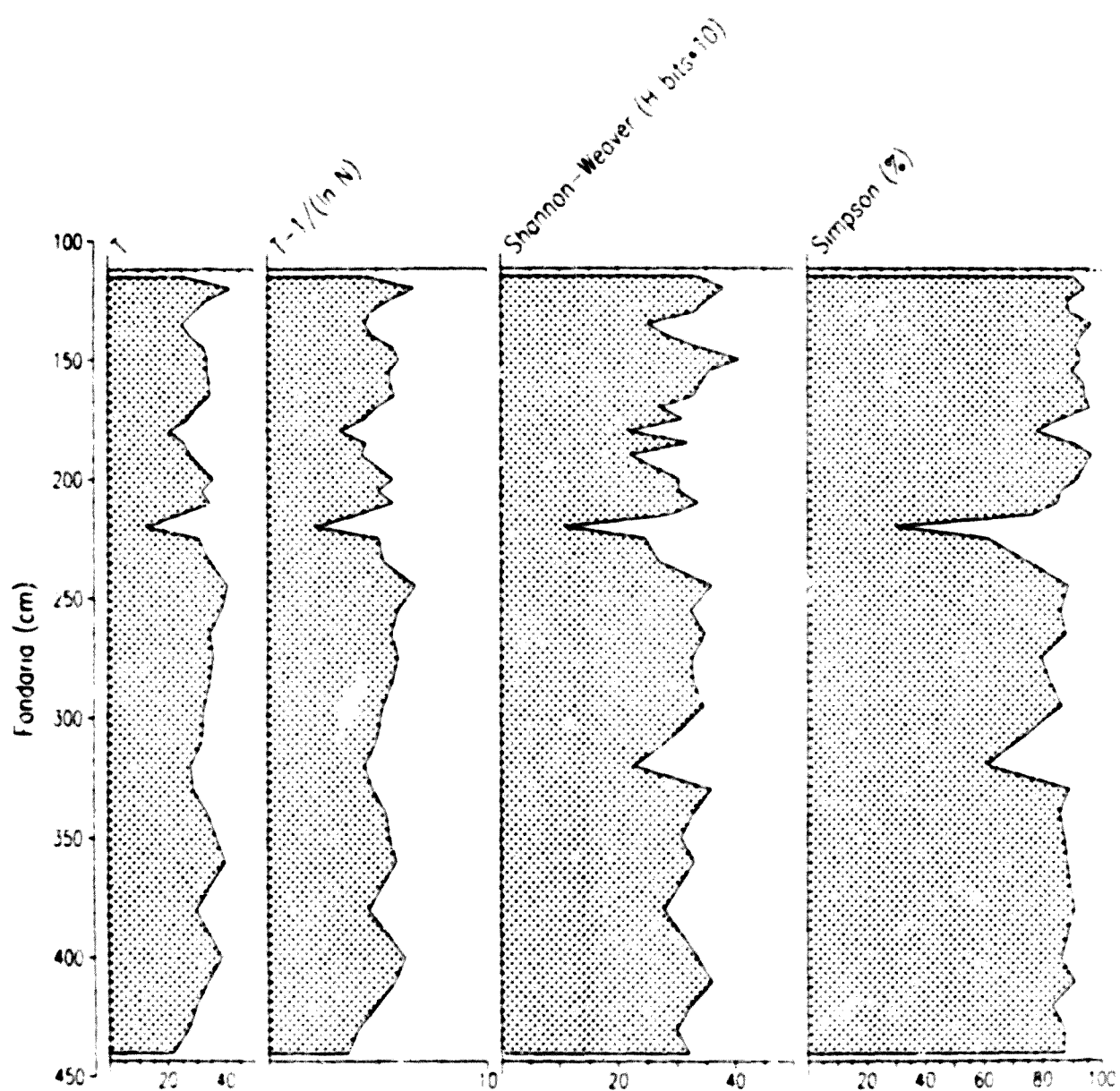
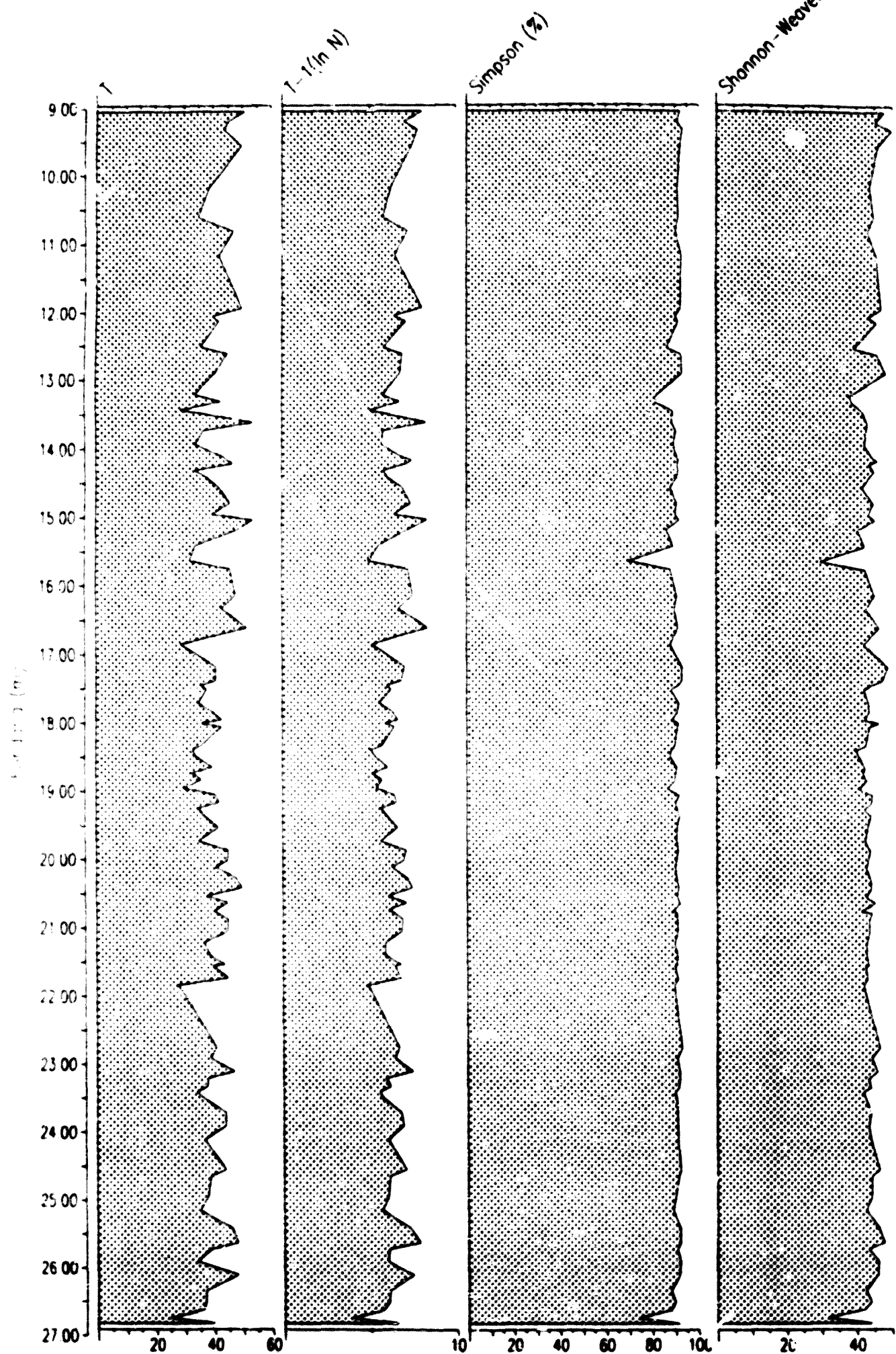


Fig. IX.2. Corbes de diversitat, calculades segons diversos sistemes, al diagrama CUB. T. correspon al nombre total de taxons identificats, i N, al nombre total de paleomorfs comptats. Els valors de l'índex Simpson es presenten en percentages, i els de l'índex Shannon-Weaver, en H bits x 10.

CUBELLES (MARINA PENEDESENCA)



**Fig. IX.2. Curbes de diversitat, calculades segons diversos sistemes, al diagrama CUB. T. correspon al nombre total de taxons identificats, i N, al nombre total de paleomorfos comptats. Els valors de l'índex Simpson es presenten en percentatges, i els de l'índex Shannon-Wesver, en H bits x 10.**



IX.3. Corbes de diversitat, calculades segons diversos sistemes, al diagrama BES. T. correspon al nombre total de taxons identificats, i N, al nombre de palauinomors comptats. Els valors de l'índex Simpson es presenten en percentatges, i els de l'índex Shannon-Weaver, en H bits x 10.

CUBELLES (Marina penedesenco)  
Fases de perturbació - Concentració Políunica

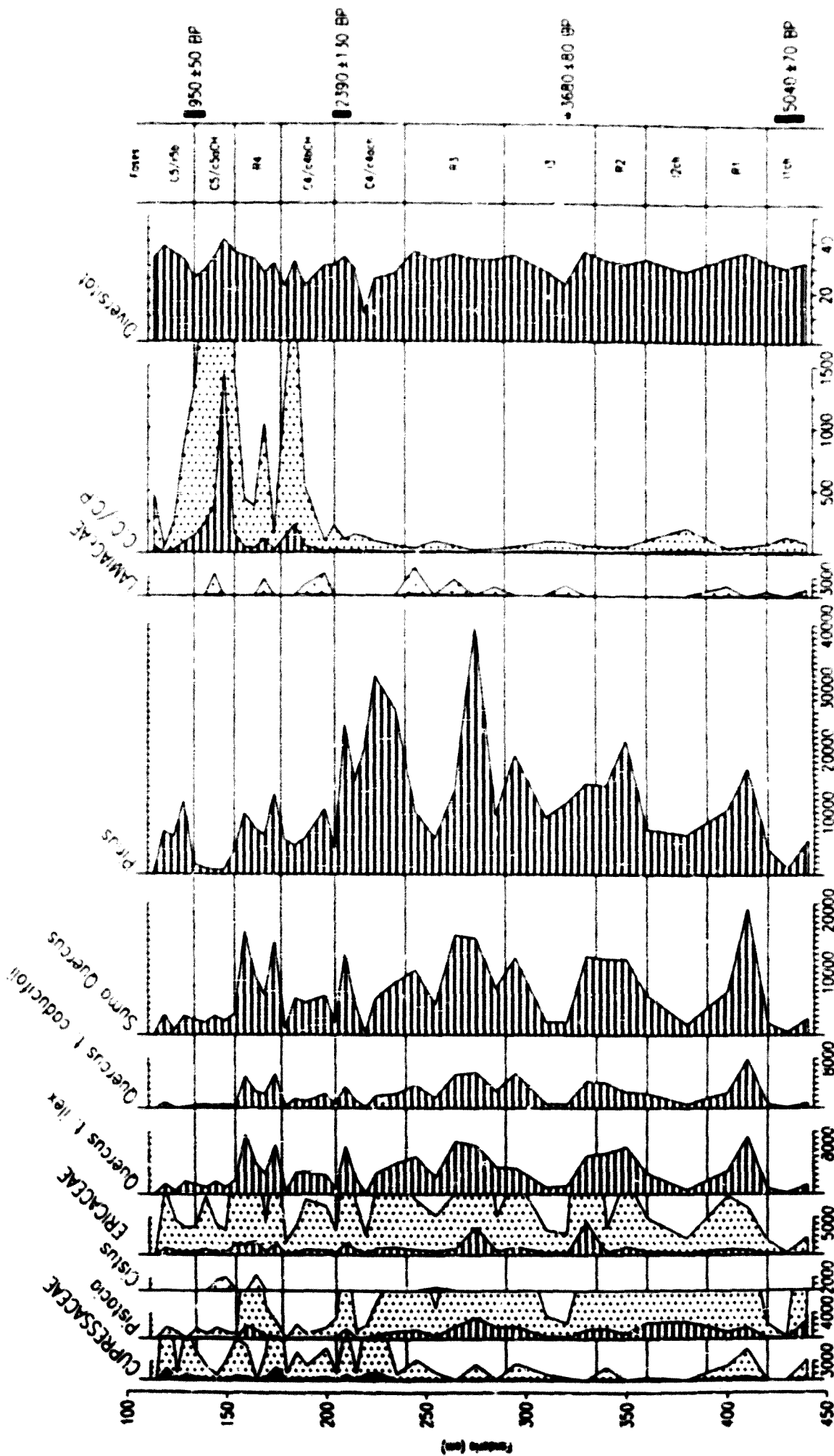


Fig. IX-4. Diagrama de C.P. de CUBELLES amb les diverses fases de perturbació i concentració políunica.

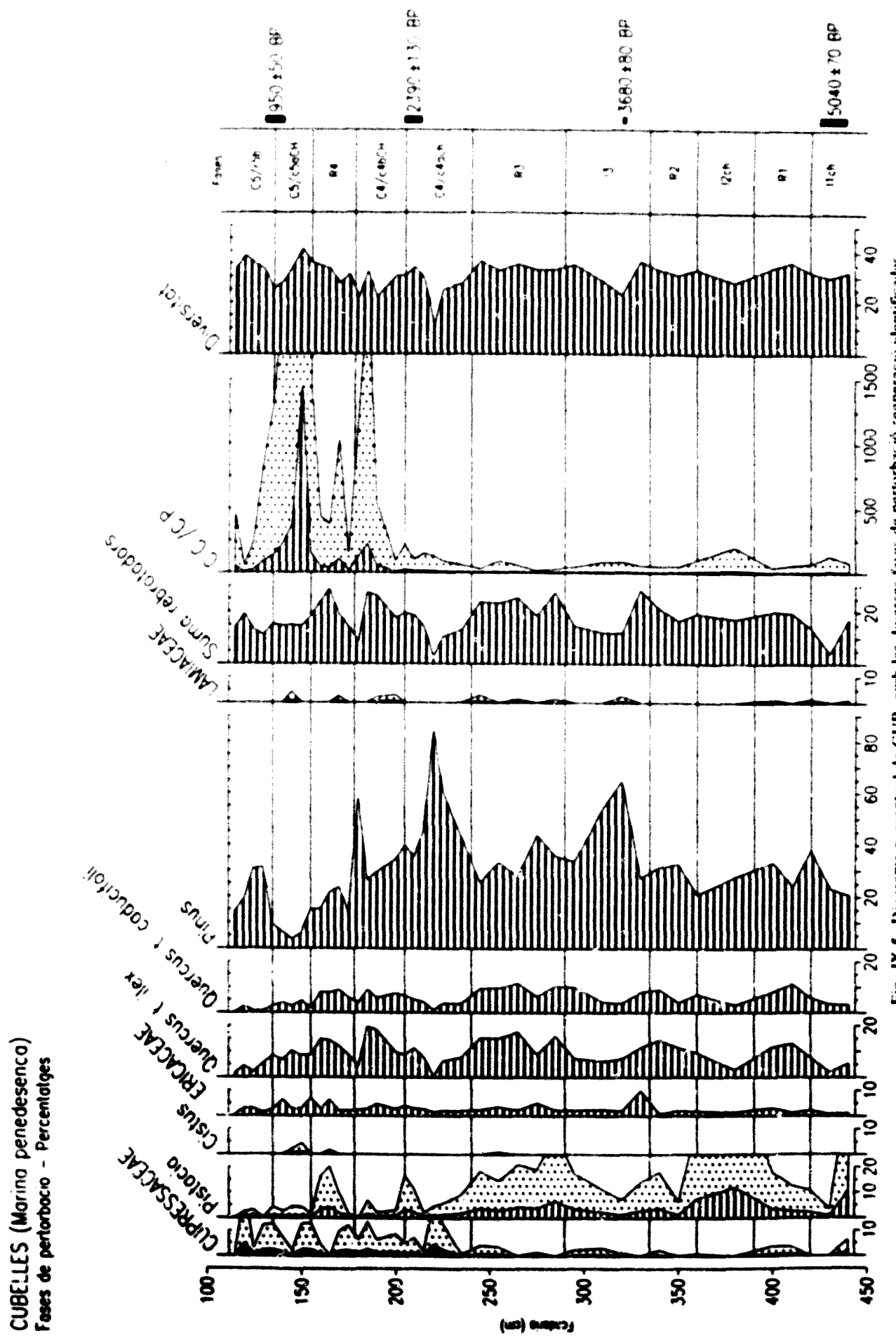


Fig. X-5. Percent area percentage CIRB units per acre.

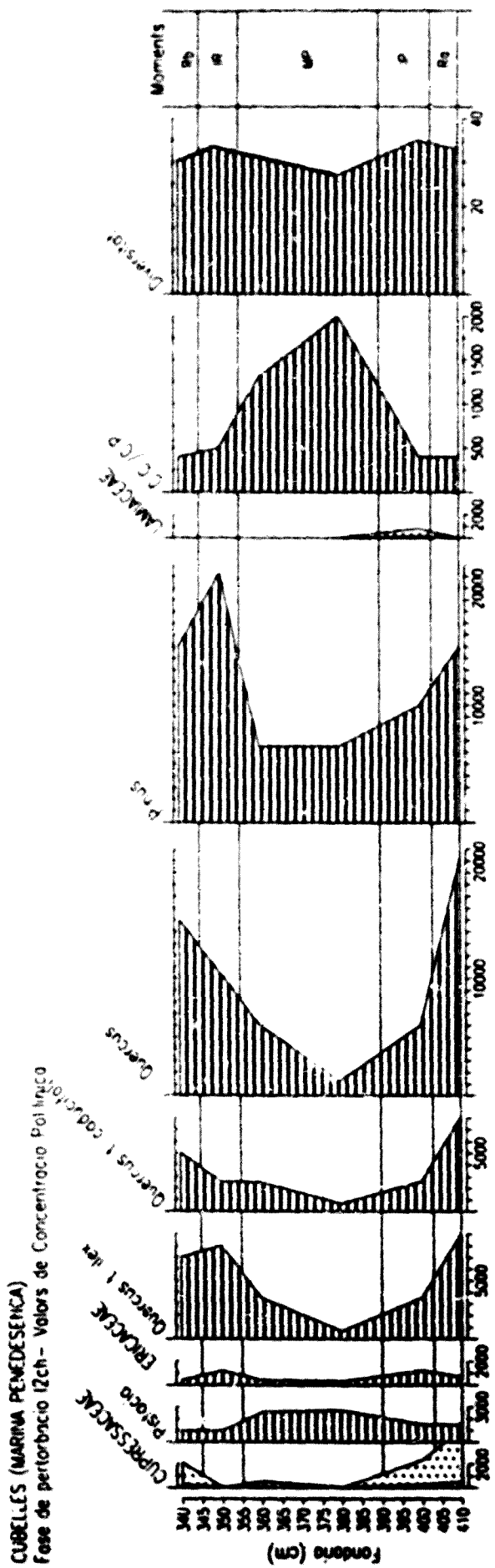


Fig. IX-6. Detall de la fase de penetració 12ch del diagrama de CUB, basat en les dades de CP

CUBELLES (MARINA PENEDESENCA)  
Fase de perforació 13 - Valors de Concentració Polimèrica

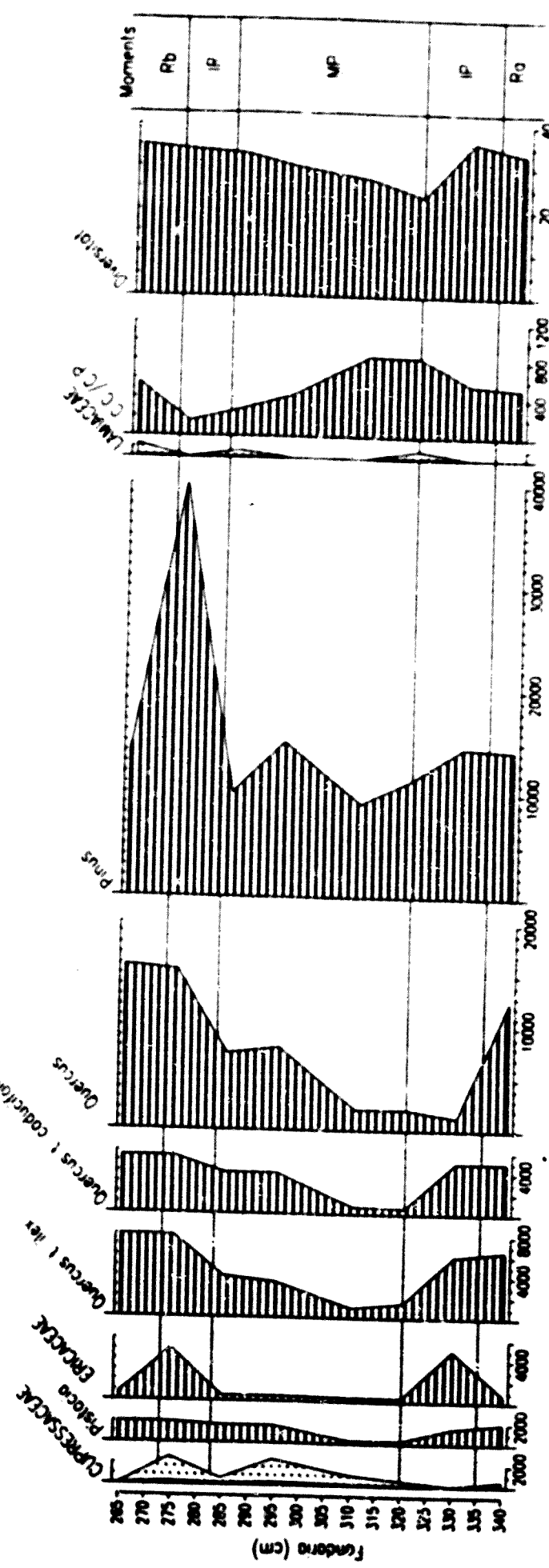


Fig. IX.7. Detall de la fase de perforació 13 del diagrama CUB, basat en les dades de C.P.

MERCABARNA (Pia de Barcelona)  
Fases pertorbació - Percentatges

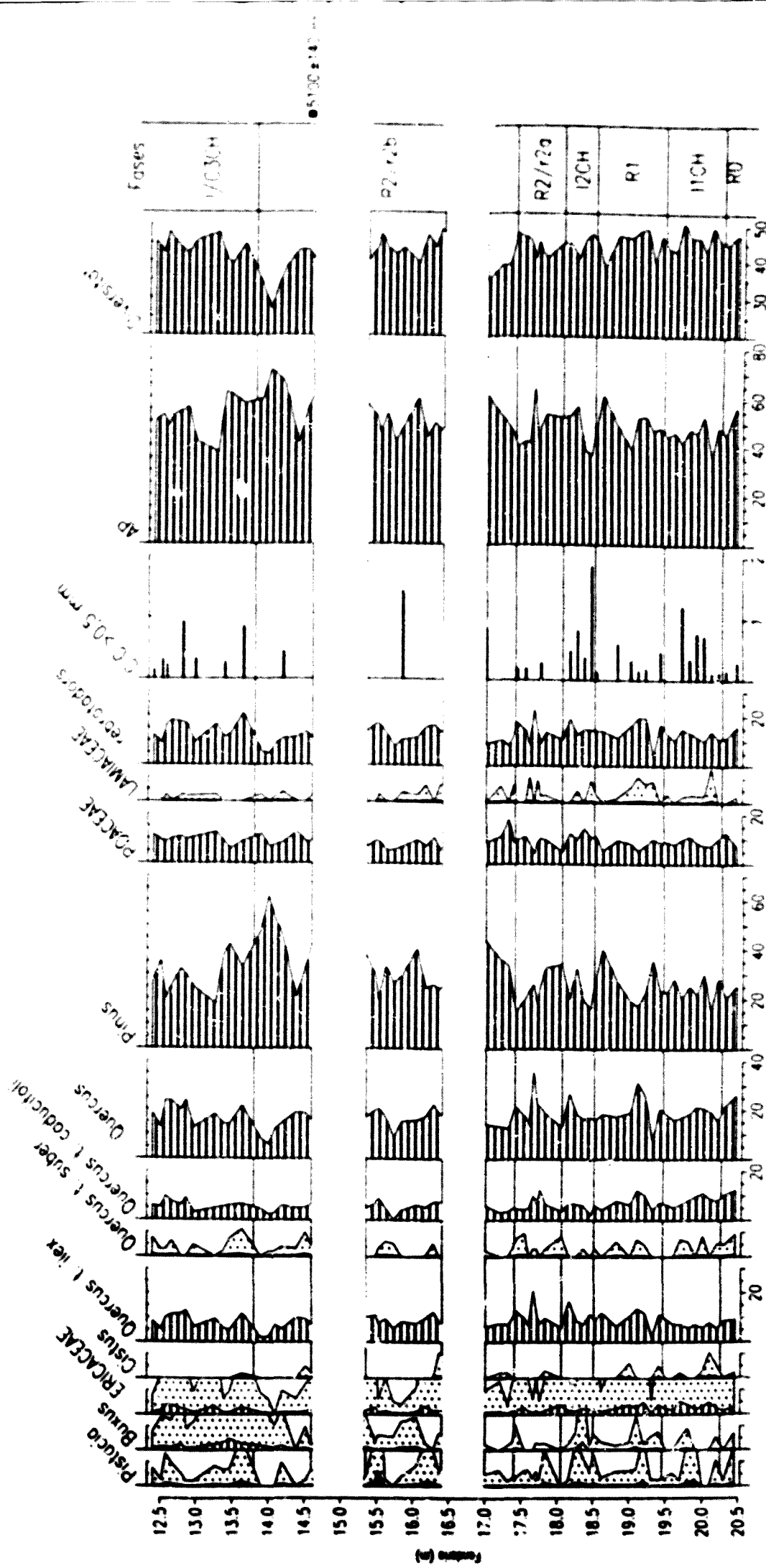


Fig. IX.8. Diagrama percentual de MBA, amb les diverses fases de perturbació regenerades identificades.

tronc negre • 1. Tronc puntejado x10

**MERCABARNA (PLA DE BARCELONA)**  
 Model general d'una fase de perturbació -Percentatges

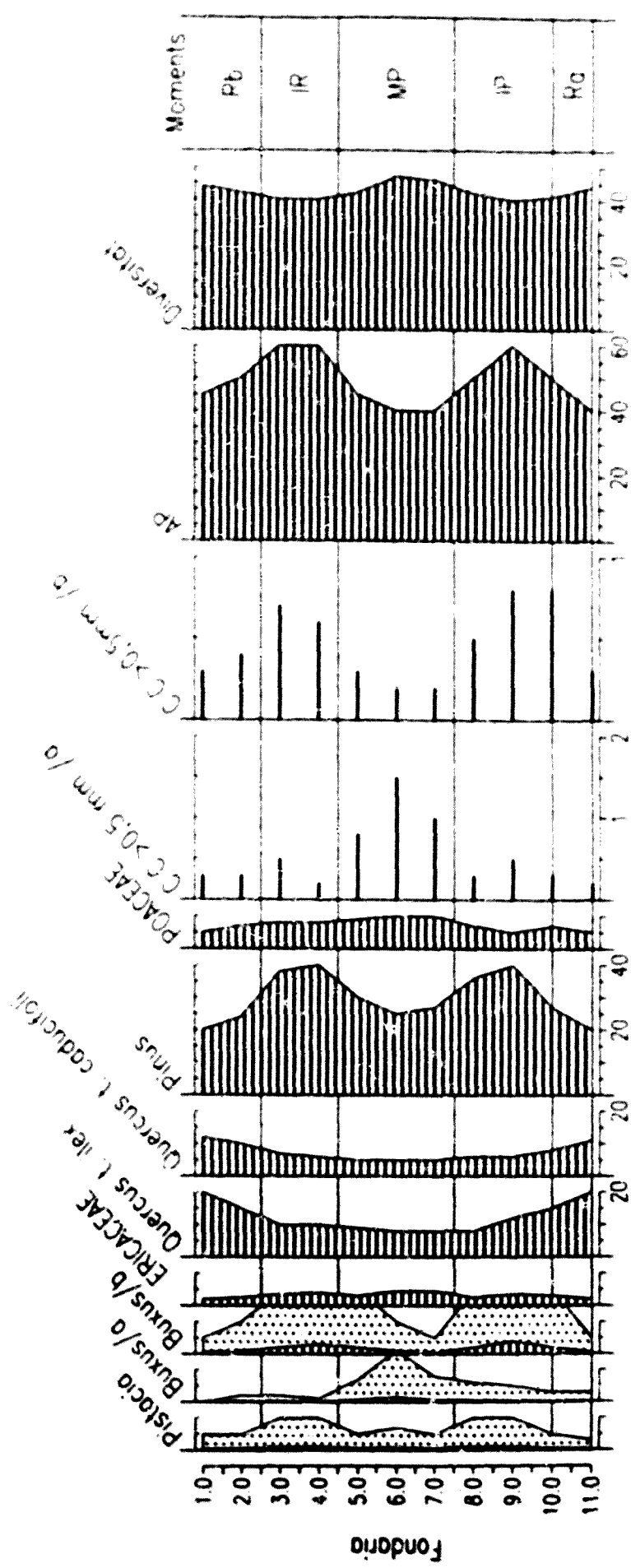


Fig. IX.9. Model general d'una fase de perturbació de la sequència MBA, basat en dades percentatges.

Frama refilitada x 1. Trama puntejada x 10.

**MERCABARNA (PLA DE BARCELONA)**  
Fase de perturbació I/CH<sub>3</sub> - Percentatges

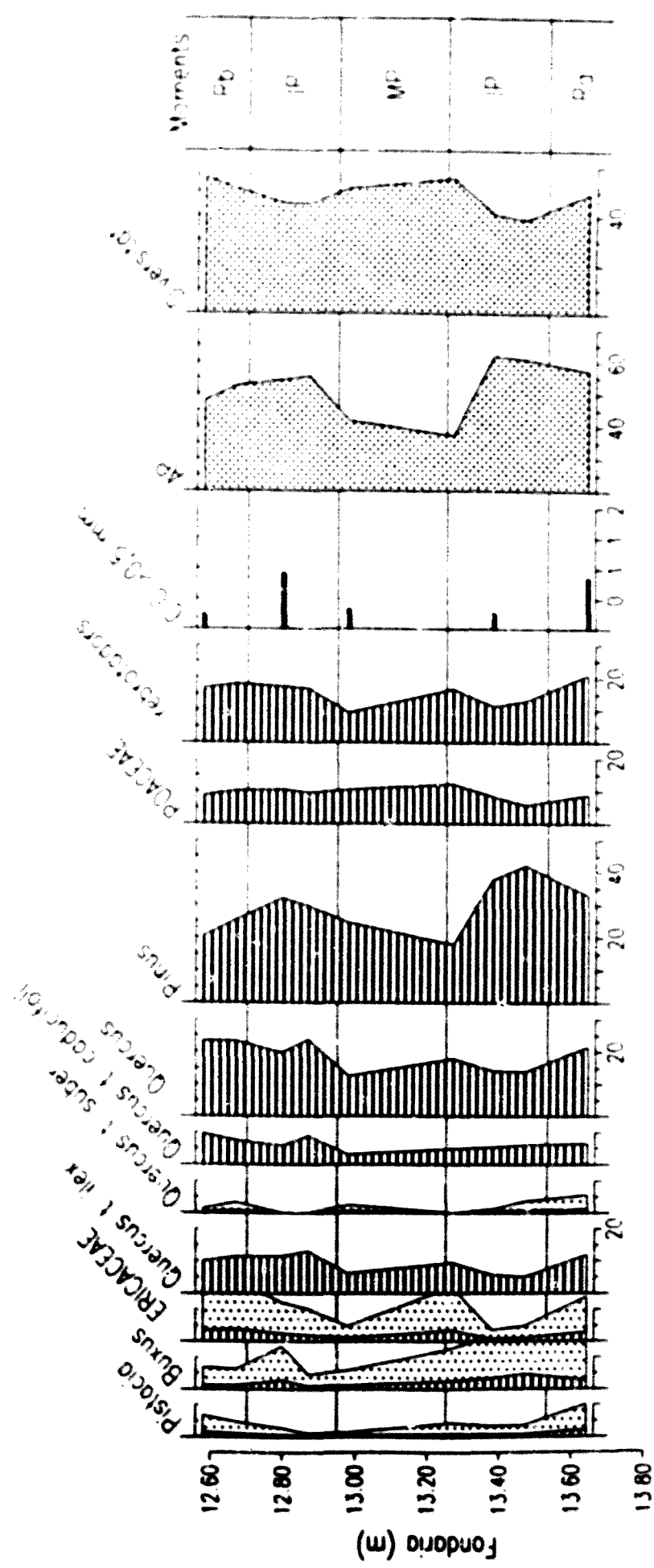
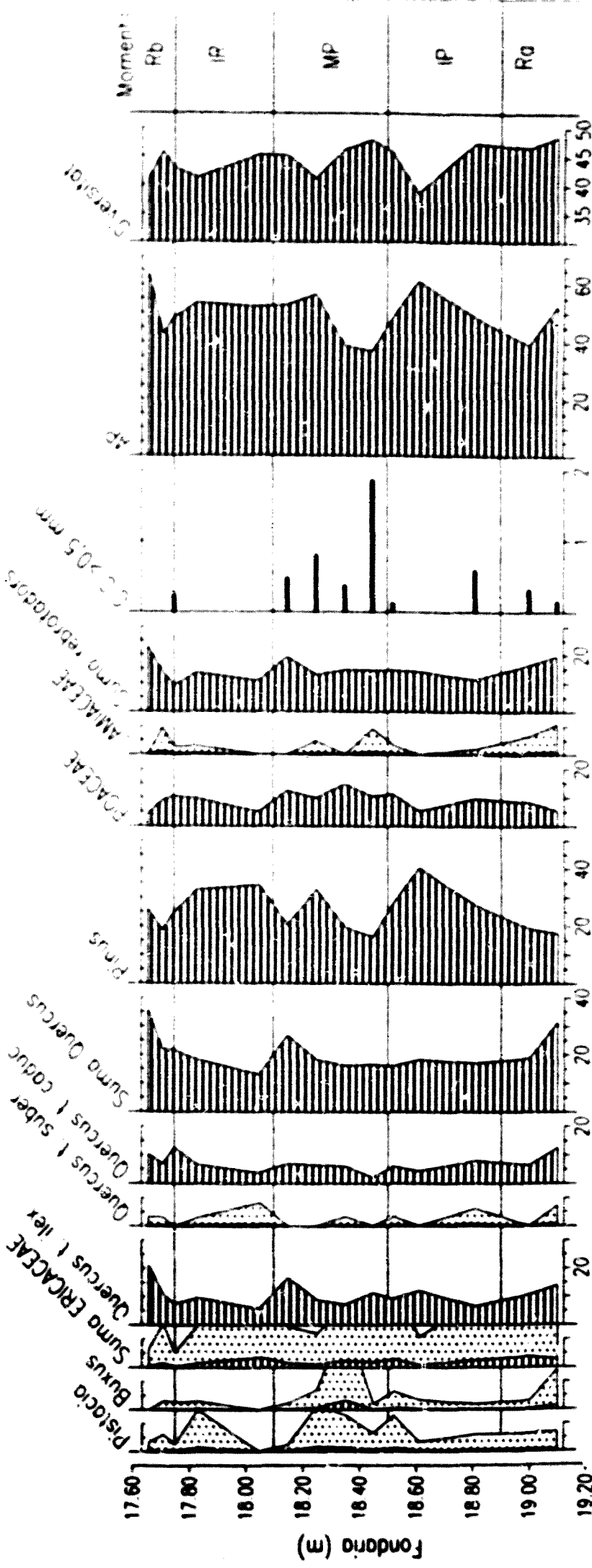
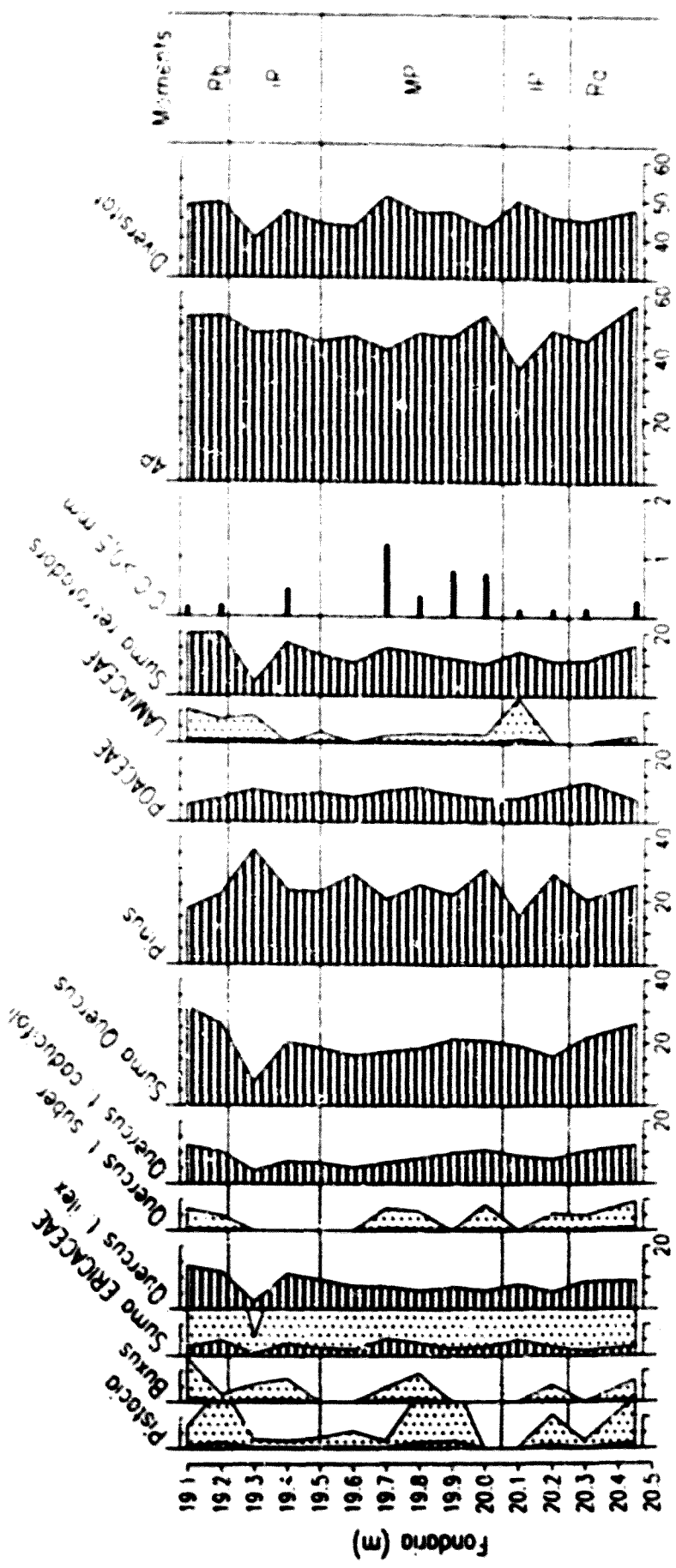


Fig. IX.10. Detall de diverses fases de perturbació i regeneració al diagrama MBA, a partir de les dades d'imatge satel·lital. Cada una dels subdiagrama s'ha generat a partir d'un conjunt de 100 imatges.



MERCABARNA (PLA DE BARCELONA)  
Fase de perturbación 12CH - Percentajes

**MERCABARNA (PLA DE BARCELONA)**  
Fase de perforación (CH) - Porcentaje



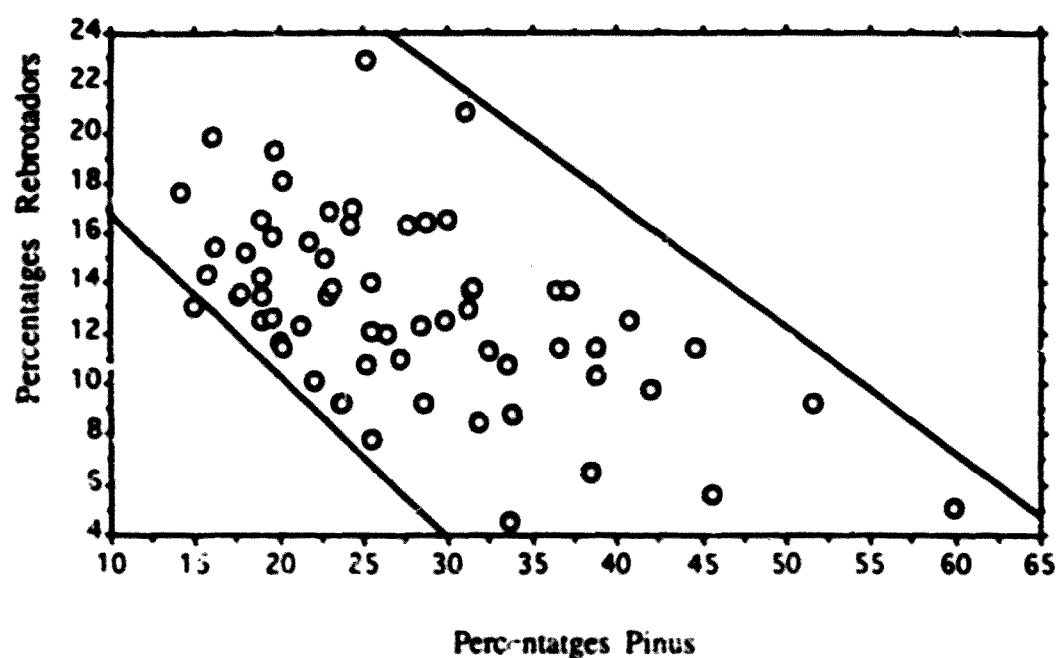


Fig. IX.11. Correlació entre els valors percentuals de *Pinus* i de la suma de taxons rebrotadors, al diagrama MBA.

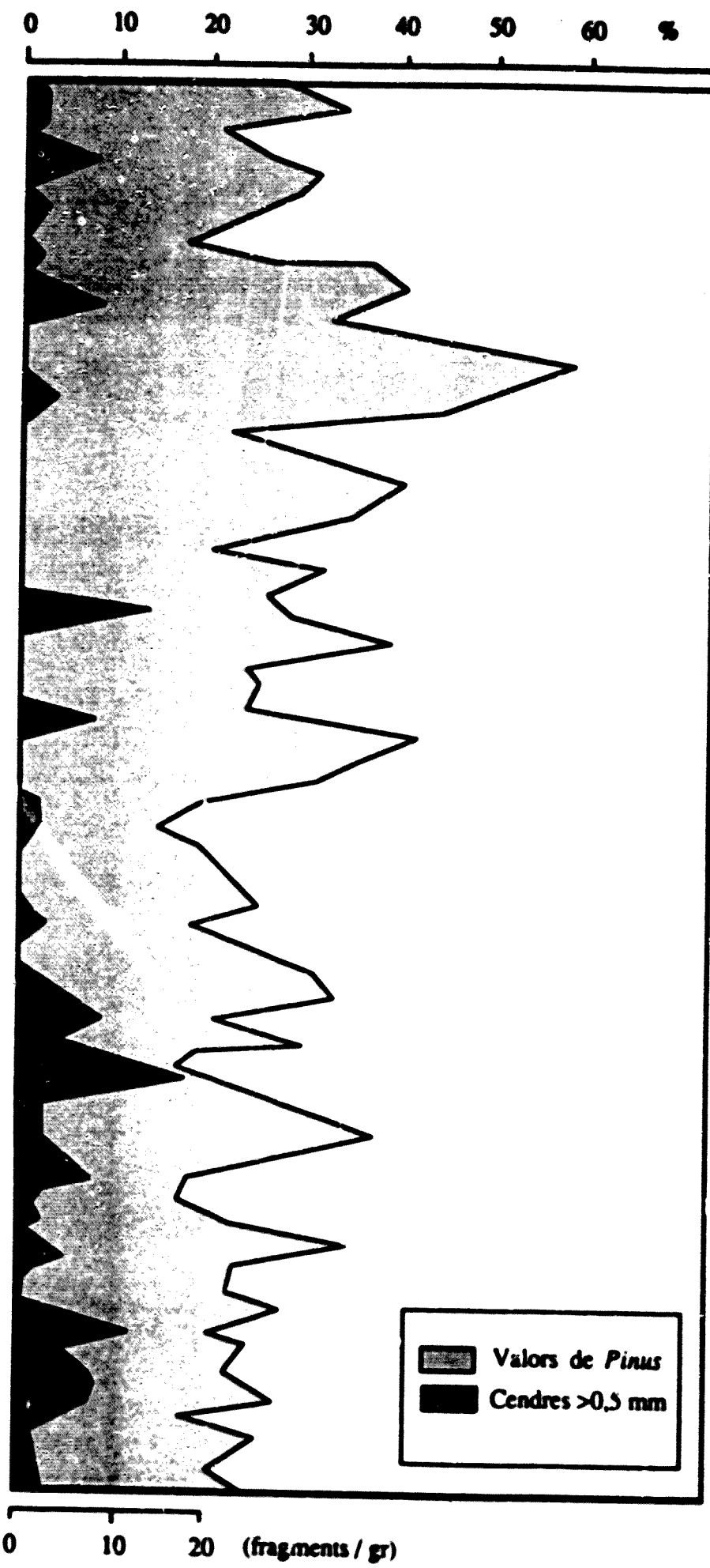


Fig. IX.12. Comparació entre les corbes de *Pinus* i de C.C. -macropartícules superiors 0,5 mm-, al diagrama

CAN CLOT (PLA DE BARCELONA)  
Valors percentuals.

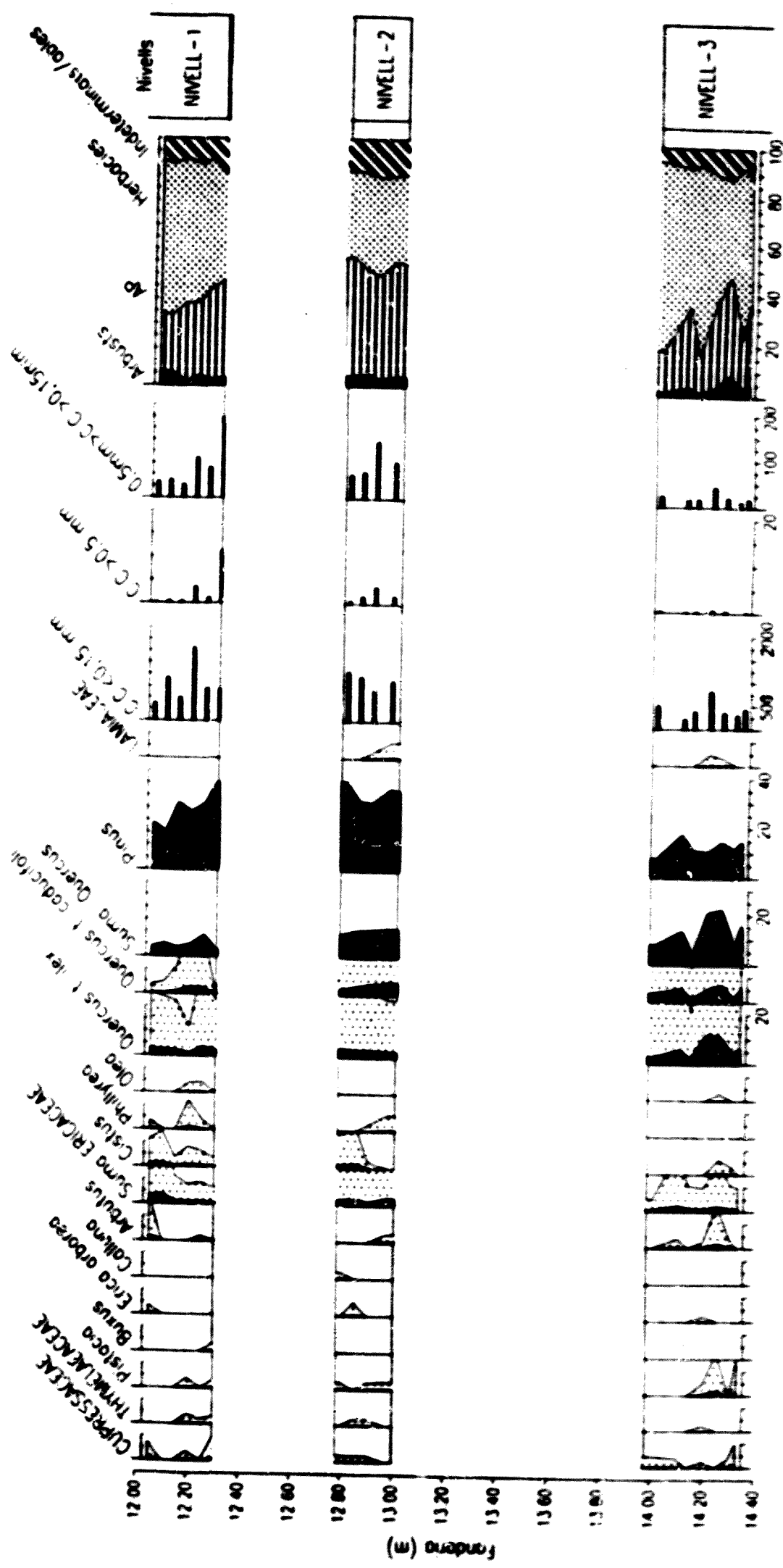
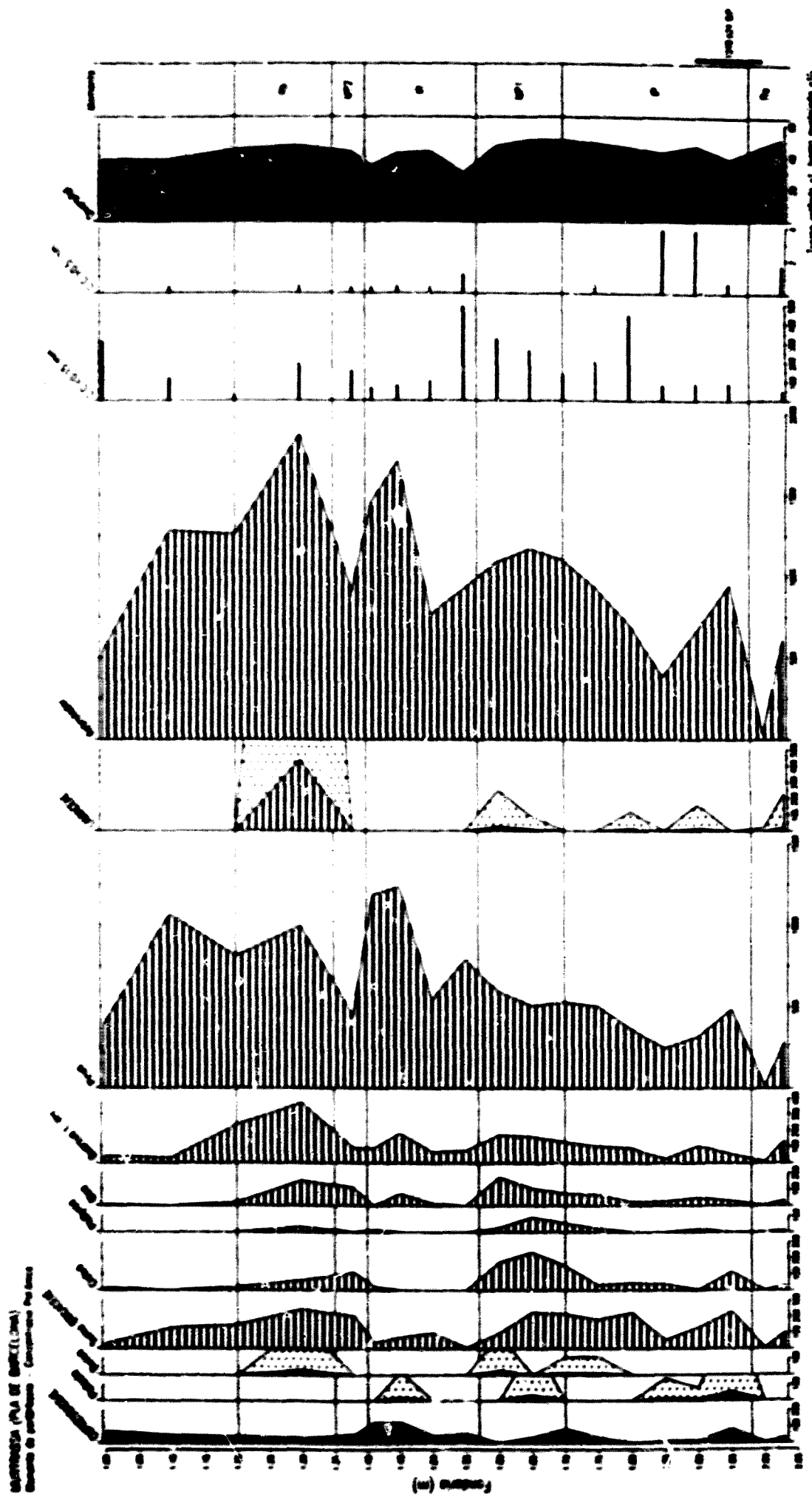


Fig. IX-13 Diagrama percentual del cambio CCI

Fig. IX. 14. Diagrama percentual del sondatge MTR, amb els diferents moments de la perforació identificats



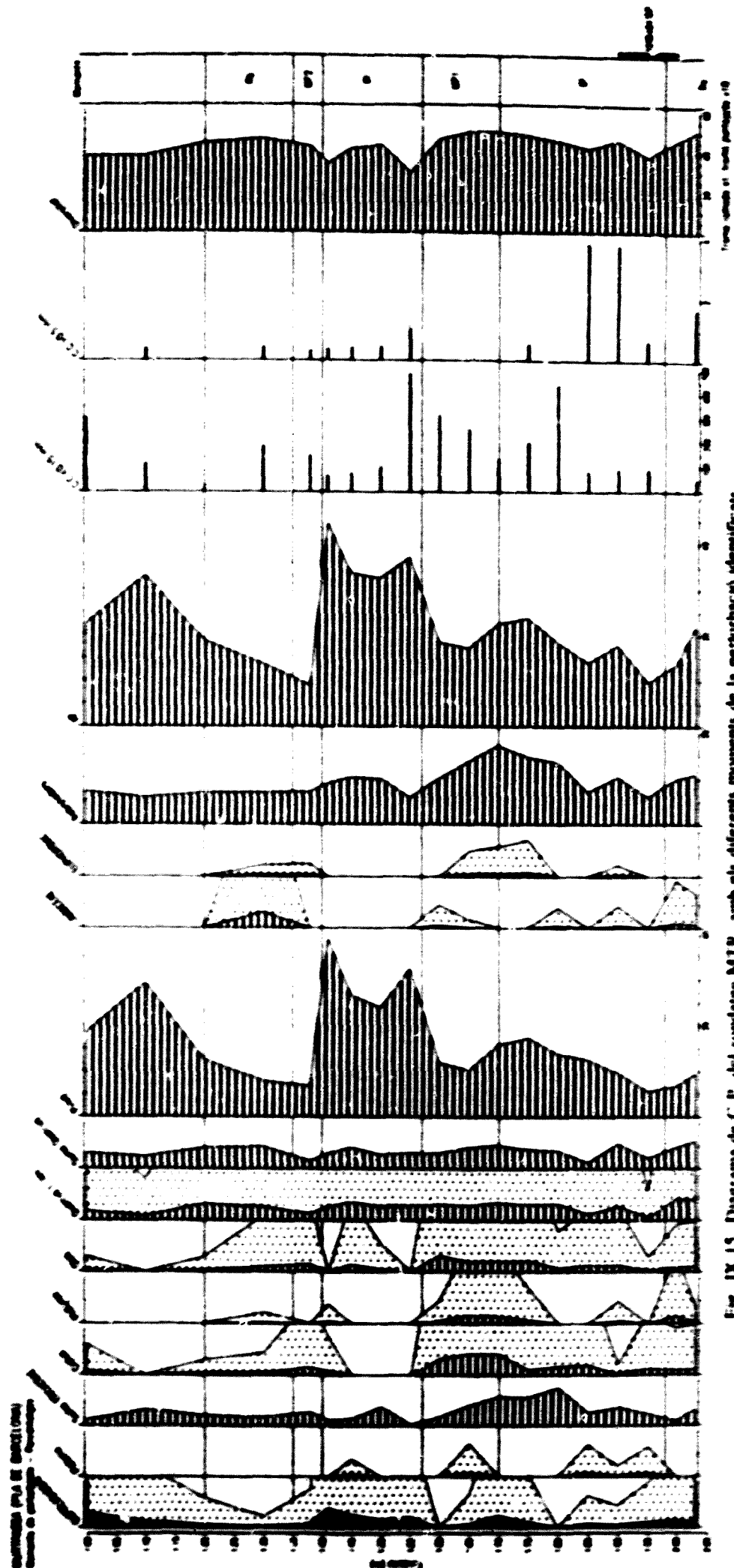


Fig. IX.15 Diagrama de C-P del undrill MTR, entre el diferentes momentos de la petrofísica identificación